



# 自动控制理论

---

## 第六章 CHAPTER 6

### 频率特性分析法 Frequency Response



浙江大学控制科学与工程学院

CONTROL SCIENCE AND ENGINEERING

SINCE 1956



## 第六章 主要内容

---

- ✓ 概述
- ✓ Bode 图 (对数坐标图)
- ✓ 极坐标图
- ✓ Nyquist稳定性判据
- ✓ 基于频率响应的补偿器设计
- ✓ 系统的闭环频率特性



# Nyquist稳定性判据

Nyquist稳定性判据提供了一种从开环传递函数  $G(j\omega)H(j\omega)$  的频率特性曲线来判定闭环系统稳定性的图解方法，使用方便。

假设一稳定系统的特征方程

$$B(s) = 1 + G(s)H(s)$$

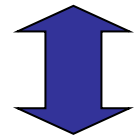
的根不在S右半平面或虚轴上，若

$$\left. \begin{array}{l} G(s) = N_1/D_1 \\ H(s) = N_2/D_2 \end{array} \right\} \Rightarrow B(s) = 1 + \frac{N_1 N_2}{D_1 D_2} = \frac{D_1 D_2 + N_1 N_2}{D_1 D_2}$$

闭环传递函数

$$\Phi(s) = \frac{Y(s)}{R(s)} = \frac{G(s)}{1 + G(s)H(s)} = \frac{N_1 D_2}{D_1 D_2 + N_1 N_2}$$

$B(s)$ 的零点



$\Phi(s)$ 的极点



# Nyquist稳定性判据

$$B(s) = 1 + \frac{N_1 N_2}{D_1 D_2} = \frac{D_1 D_2 + N_1 N_2}{D_1 D_2}$$

稳定性条件可以表示为：

对于一个稳定的系统， $B(s)$ 的零点不在S右半平面或虚轴上。

Nyquist稳定性判据将 $B(s)$ 位于右半平面零点和极点的个数与 $G(s)H(s)$ 的极坐标图联系在一起。

$$\left. \begin{array}{l} G(s) = N_1/D_1 \\ H(s) = N_2/D_2 \end{array} \right\} \Rightarrow G(s)H(s) = N_1 N_2 / D_1 D_2$$

限制条件：

- 1) 假设所有的控制系统都是线性的或者在操作点处是线性的。
- 2) 开环传递函数 $G(s)H(s)$ 分母 $D_1 D_2$ 的阶次大于等于分子 $N_1 N_2$ 的阶次。这意味着 $\lim_{s \rightarrow \infty} G(s)H(s) \rightarrow 0$  或常数。



# Nyquist稳定性判据

$$B(s) = 1 + \frac{N_1 N_2}{D_1 D_2} = \frac{D_1 D_2 + N_1 N_2}{D_1 D_2}$$

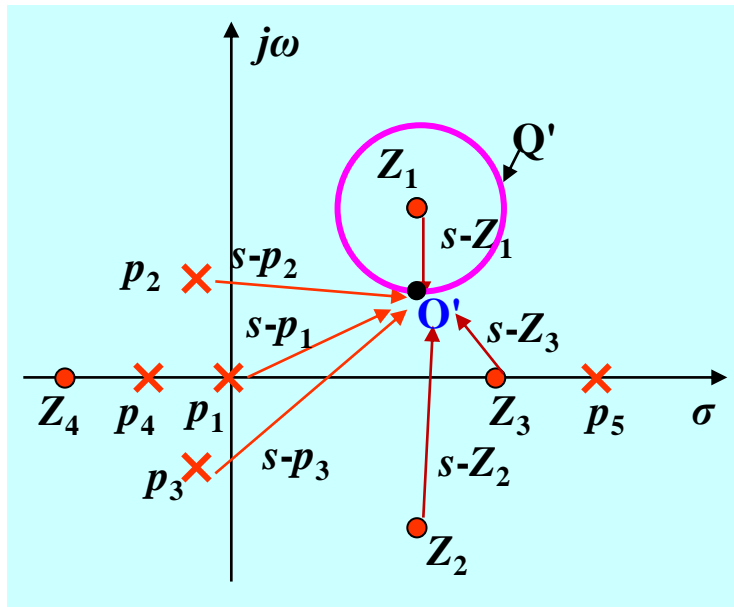
$\Phi(s)$ 的极点

考虑 $B(s)$ 为 $s$ 的有理分式函数，特征方程 $B(s)$ 因式分解为如下形式

$$B(s) = \frac{(s - Z_1)(s - Z_2) \cdots (s - Z_w)}{(s - p_1)(s - p_2) \cdots (s - p_n)}$$

-----注意 $Z_i$ 和 $p_j$ 的符号。

$GH$ 的  
极点



- 在 $S$ 平面绘制函数 $B(s)$ 的零极点
- 任意绘制闭合曲线 $Q'$ 包围零点 $Z_1$
- $O'$ 是闭合曲线 $Q'$ 上的任意一点，坐标为 $s = \sigma + j\omega$ ，绘制从所有零极点 to 该点( $O'$ )的线段 (图上并未画全)



# Nyquist稳定性判据——数学基础

当点 $O'$ 沿着闭合曲线 $Q'$ 顺时针旋转一周时， $(s-Z_1)$ 有向线段顺时针旋转 $360^\circ$ 。

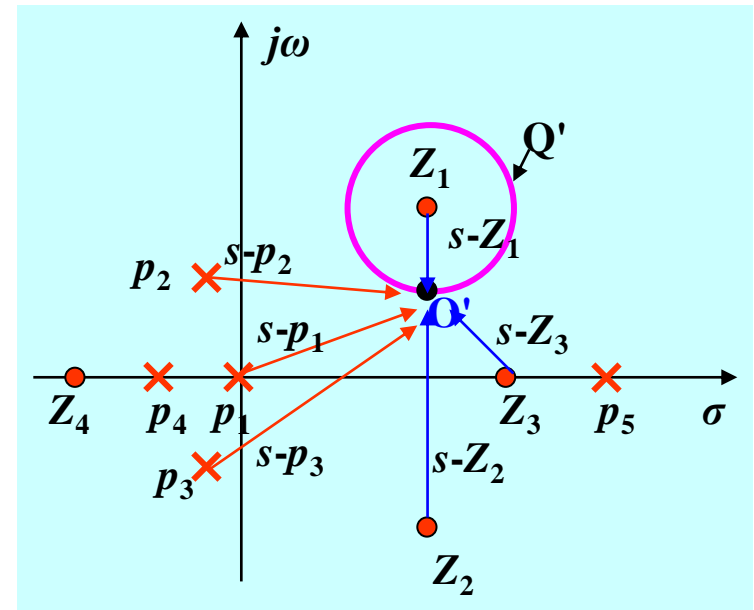
其他有向线段净旋转角 $0^\circ$ 。

注意: 
$$B(s) = \frac{(s-Z_1)(s-Z_2)\cdots(s-Z_w)}{(s-p_1)(s-p_2)\cdots(s-p_n)}$$

$$\angle B(s) = \sum \angle(s-Z_i) - \sum \angle(s-p_j)$$

结论:

$(s-Z_1)$  顺时针旋转 $360^\circ$ ，则 $B(s)$ 也顺时针旋转 $360^\circ$ 。

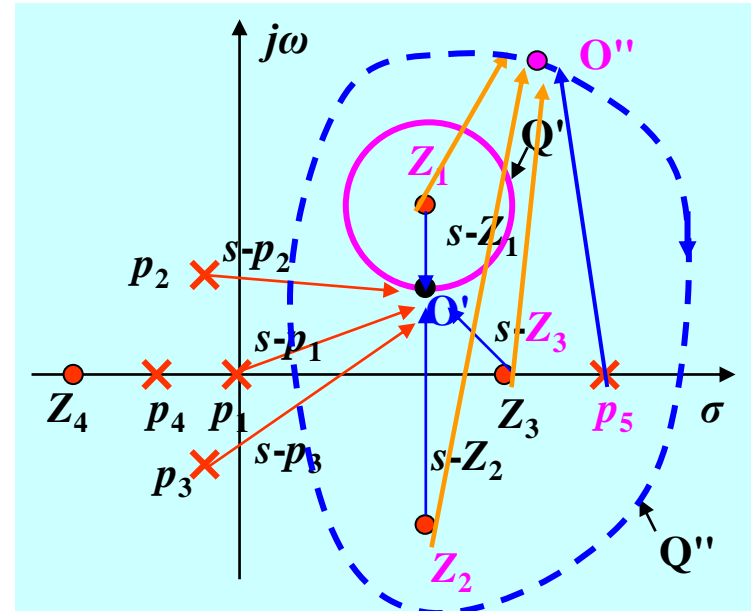




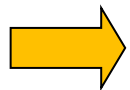
# Nyquist稳定性判据——数学基础

现在考虑一包含零点 $Z_1, Z_2, Z_3$ 和极点 $p_5$ 的闭环曲线 $Q''$ 。

当点 $O''$ 沿着闭合曲线 $Q''$ 顺时针旋转一周时，从每个被包围零极点出发的有向线段顺时针旋转 $360^\circ$ 。



$B(s)$ 的净旋转角等于 $p_5$ 的旋转角度减去零点 $Z_1, Z_2$ , 和 $Z_3$ 的旋转角度。



$B(s)=1+G(s)H(s)$ 的旋转角度为  $360^\circ - 3 \times 360^\circ = -720^\circ$   
——???

$$\angle B(s) = \sum \angle(s - Z_i) - \sum \angle(s - p_j)$$



# Nyquist稳定性判据——数学基础

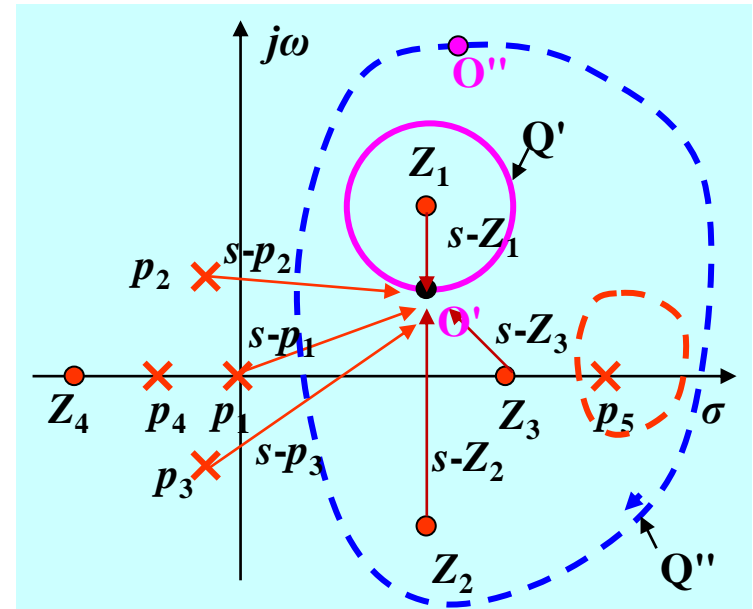
点  $O''$  沿着闭合曲线  $Q''$  顺时针运动一周时,  $B(s)=1+G(s)H(s)$  旋转的圈数为  $-2$ , *i.e.*

$$N = (\text{被包围的极点数}) - (\text{被包围的零点数}) = 1 - 3 = -2$$

其中负号表示顺时针 (cw) 旋转的角度

若闭合曲线  $Q''$  仅包含一个极点  $p_5$  时, 随着点  $O''$  顺时针旋转一周,  $B(s)$  逆时针旋转的圈数  $N=1$ 。

对于任意的闭合曲线, 当闭合曲线上任意一点沿着闭合曲线旋转一周时,  $B(s)$  中所有闭合曲线外的极点和零点对应的旋转角度为0。

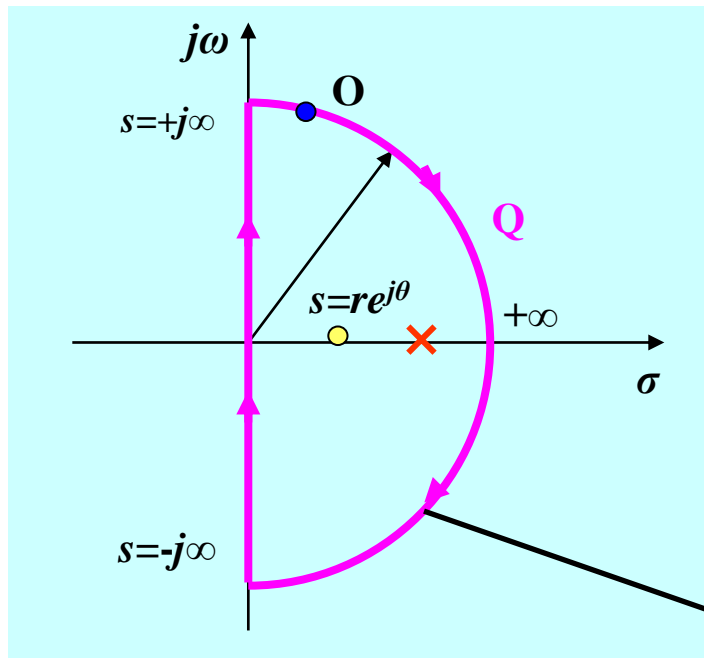






# Nyquist稳定性判据——数学基础

考虑一包围整个S右半平面的闭合曲线Q



闭合曲线Q包围了 $B(s)$ 所有具有正实部的极点和零点。

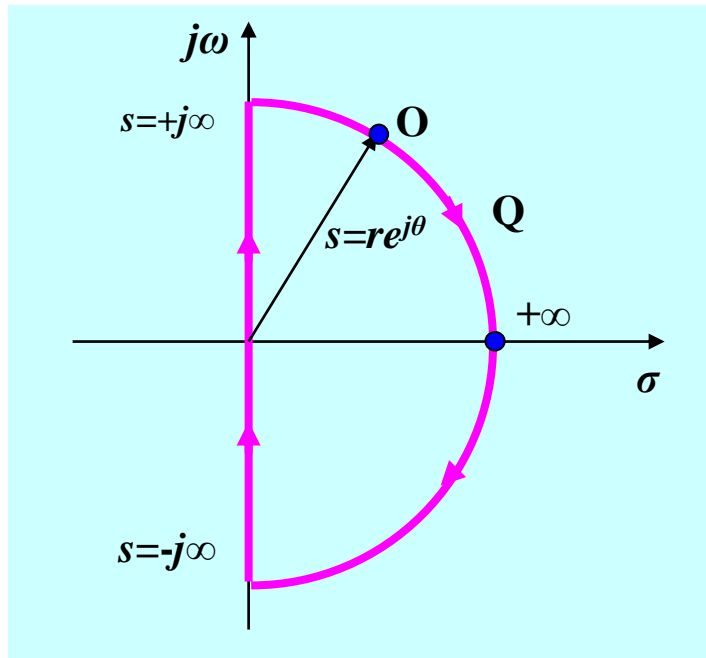
为了运用幅角定理，闭合曲线Q不能经过 $B(s)$ 的任一极点和零点。

<注意复习：复变函数中的幅角定理（映射定理）>

Nyquist 闭合曲线



# Nyquist稳定性判据——数学基础



注意:

1.  $B(s)$ 的零点产生的**顺时针**旋转圈数等于  $B(s)$ 在右半平面的零点数  $Z_R$ 。
2.  $B(s)$ 的极点产生的**逆时针**旋转圈数等于  $B(s)$ 在右半平面的极点数  $P_R$ 。
3.  $B(s)=1+G(s)H(s)$ **围绕原点**旋转的圈数  $N$  等于  $B(s)$ 在右半平面的极点数  $P_R$  减去零点数  $Z_R$ 。  $N$  可能为正（逆时针）、为负（顺时针）或零。

上述结论可以用方程来表示

$$N = \frac{[1+G(s)H(s)]\text{相角变化}}{2\pi} = P_R - Z_R$$

$B(s)$ 围绕原点旋转的圈数

其中逆时针旋转为正，顺时针旋转为负。



# Nyquist稳定性判据——数学基础

$$\left. \begin{array}{l} G(s) = N_1/D_1 \\ H(s) = N_2/D_2 \end{array} \right\} \rightarrow B(s) = 1 + \frac{N_1 N_2}{D_1 D_2} = \frac{D_1 D_2 + N_1 N_2}{D_1 D_2}$$

若特征方程 $B(s)$ 旋转圈数为 $N$ ，则表示 $B(s)$ 的有向线段围绕原点旋转

$N \times 360$  度

$$N = P_R - Z_R$$

$$Z_R = P_R - N$$

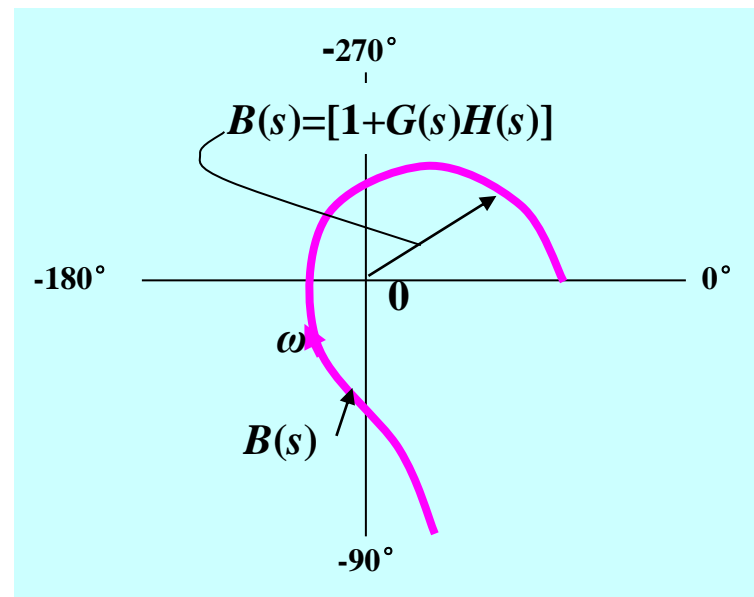
位于右半平面  
的开环极点  
数

闭环特征方程  
在右半平面  
的根的个数

注意：

$B(s)$ 的零点

$\Phi(s)$ 的极点



一般地， $P_R$ 是已知的， $N$ 可以从 $B(s)$ 极坐标图中获得，问题便转化为从极坐标图得到的 $N$ 及已知的 $P_R$ ，可以求出 $Z_R$ ，也就可判系统稳定性。



# Nyquist稳定性判据——数学基础

$$\left. \begin{array}{l} N = P_R - Z_R \\ Z_R = P_R - N \\ G(s) = N_1/D_1 \\ H(s) = N_2/D_2 \end{array} \right\} \Rightarrow B(s) = 1 + \frac{N_1 N_2}{D_1 D_2} = \frac{D_1 D_2 + N_1 N_2}{D_1 D_2}$$

对于稳定系统来说， $B(s)$ 在S右半平面没有零点（ $Z_R=0$ ），因此：

对于稳定系统， $B(s)$ 逆时针围绕原点旋转的圈数一定等于 $B(s)$ 右半平面的极点数（开环传递函数右半平面的极点数）。

例如

若 $B(s)$ 顺时针旋转一圈，则表明 $Z_R > P_R$ ，其中 $P_R \geq 0$ ，则闭环系统不稳定。

若 $B(s)$ 的旋转圈数为0，则 $Z_R = P_R$ ，系统或者稳定（ $P_R=0$ ）或者不稳定（ $P_R > 0$ ）。

若 $P_R=0$ ，则 $Z_R=0$ ，系统稳定

若 $P_R > 0$ ，则 $Z_R > 0$ ，系统不稳定

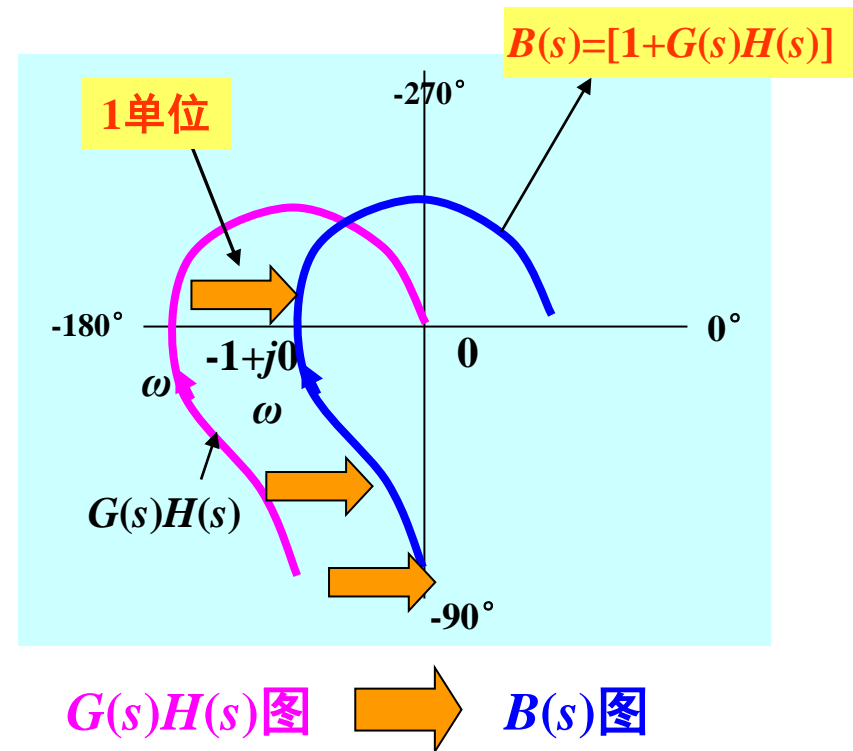


# Nyquist稳定性判据——从 $G(s)H(s)$ 绘制 $B(s)$ 图

由于 $G(s)H(s)$ 已知，可以绘制极坐标图（如右图）

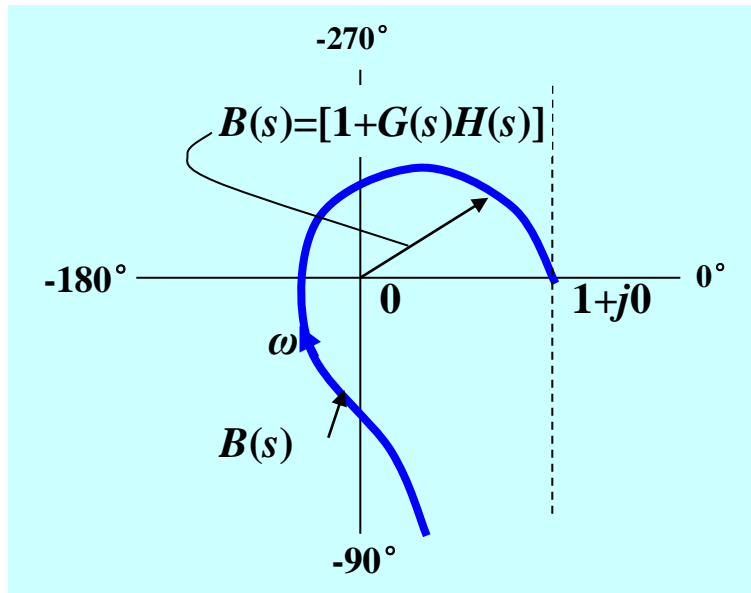
将 $G(s)H(s)$ 的极坐标图右移一个单位，得到 $B(s)$ 图

$$(B(s)=G(s)H(s)+1)$$

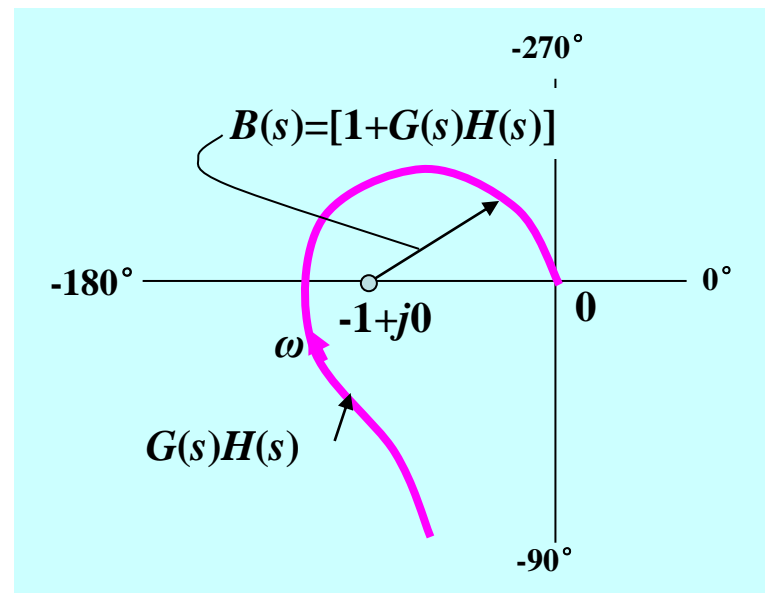




# Nyquist稳定性判据——从 $G(s)H(s)$ 绘制 $B(s)$ 图



$B(s)$ 图



$G(s)H(s)$ 图

原来讨论问题是关注 $B(s)$ 极坐标图围绕原点转 $N$ 圈与 $B(s)$ 零极点  
的关系，现在可以在已知开环 $G(s)H(s)$ 极坐标图情况下直接看其围  
绕 $(-1, j0)$ 的情况，两者完全等价！



# Nyquist稳定性判据

$$\left. \begin{array}{l} G(s) = N_1/D_1 \\ H(s) = N_2/D_2 \end{array} \right\} \Rightarrow B(s) = 1 + \frac{N_1 N_2}{D_1 D_2} = \frac{D_1 D_2 + N_1 N_2}{D_1 D_2} \quad Z_R = P_R - N$$

一般情况下，实际系统的开环传递函数  $G(s)H(s)$  在右半平面没有极点，即  $P_R = 0$ ，在这种情况下  $Z_R = -N$ 。因此

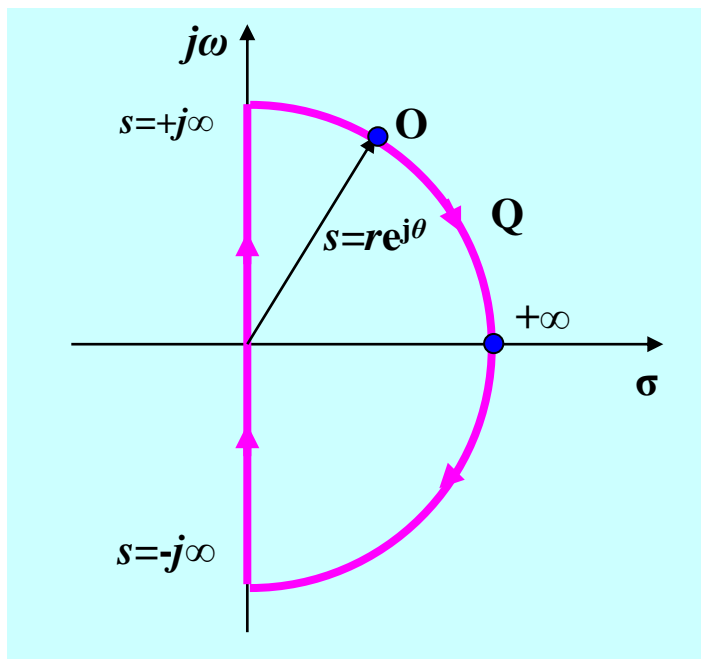
对于稳定系统，若  $G(s)H(s)$  在右半平面没有极点，则  $G(s)H(s)$  围绕  $-1+j0$  点的圈数为零。

对于  $G(s)H(s)$  在右半平面有极点，但分母不是因式分解的形式情况，可以对  $D_1 D_2$  应用Routh判据来确定右半平面的极点个数（Routh表中第一列符号变化的次数即右半平面的极点数）



# Nyquist稳定性判据——闭合曲线Q

应用 Nyquist稳定判据时，闭合曲线必须包围整个右半平面，以保证右半平面的所有零点和极点都被包围进去。



闭合曲线Q包围S的整个右半平面  
闭合曲线由以下两部分组成：

- 1) 一部分是 $-j\infty$  到 $+j\infty$ 的虚轴；
- 2) 另一部分是包含右半平面的半径为无穷大的半圆。





# Nyquist稳定性判据——闭合曲线Q

1) 从 $-j\infty$ 到 $+j\infty$ 的虚轴:

这部分沿虚轴的路径可以表示为  $s=j\omega$ , 其中 $\omega$ 取值范围为 $-\infty$ 到 $+\infty$ , 绘制这部分对应的 $B(s)$ 图

2) 包含右半平面的半径为无穷大的半圆:

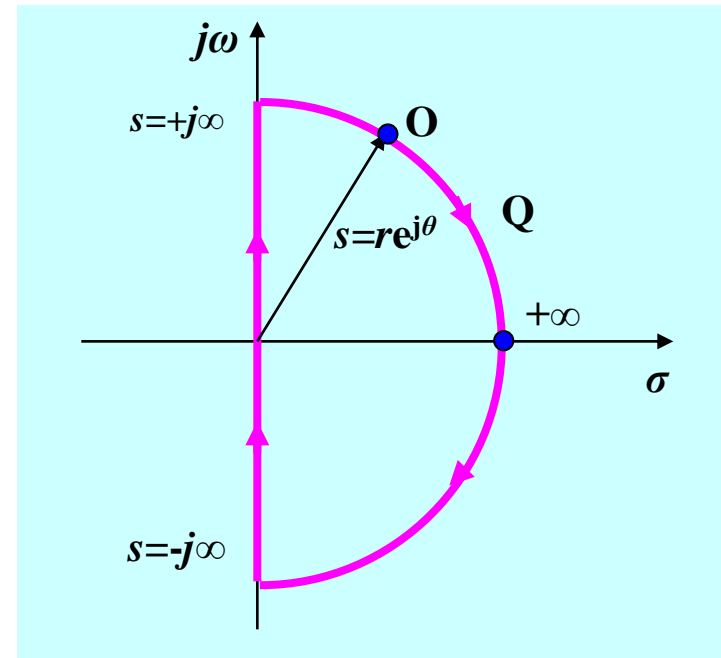
Nyquist判据的其中一个要求就是

$\lim_{s \rightarrow \infty} G(s)H(s) \rightarrow 0$  或常数。

$$\lim_{s \rightarrow \infty} G(s)H(s) \rightarrow 0 \text{ or } K$$



$$\lim_{s \rightarrow \infty} [1 + G(s)H(s)] \rightarrow 1 \text{ or } (1 + K)$$





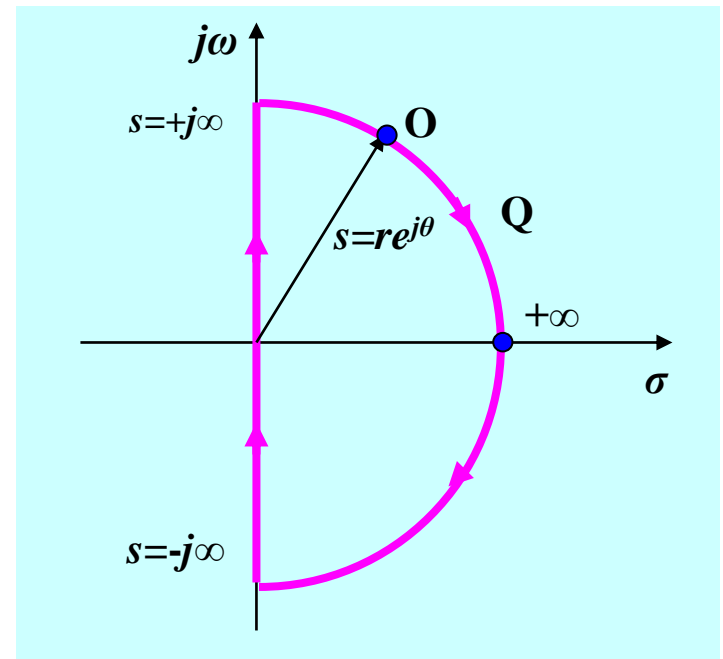
# Nyquist稳定性判据——闭合曲线Q

当点O沿着闭合曲线中半径为无穷大的半圆移动时，相应的 $B(s)$ 图是一个固定的点。

因此，点O沿着虚轴从 $-j\infty$ 变化到 $+j\infty$ 与沿着整个闭合曲线运动时， $B(s)$ 旋转的角度相等。

结论：

$B(s)$ 旋转的角度变化仅与点O沿虚轴从 $-j\infty$ 到 $+j\infty$ 变化有关。





# Nyquist稳定性判据——幅相特性曲线的对称性

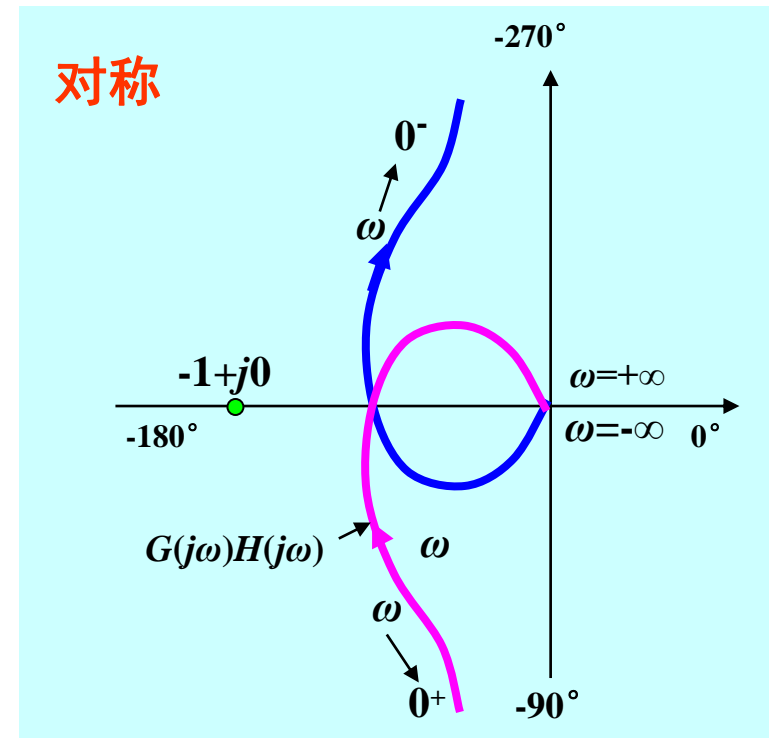
考虑如下传递函数 ( $T_1$  和  $T_2$  为正)

$$G(s)H(s) = \frac{K_1}{s(1+T_1s)(1+T_2s)}$$

令  $s=j\omega$ ，代入上述  $G(s)H(s)$ ，绘制  $G(j\omega)H(j\omega)$  的极坐标图。

当  $s$  沿虚轴变化时  $G(s)H(s)$  图：

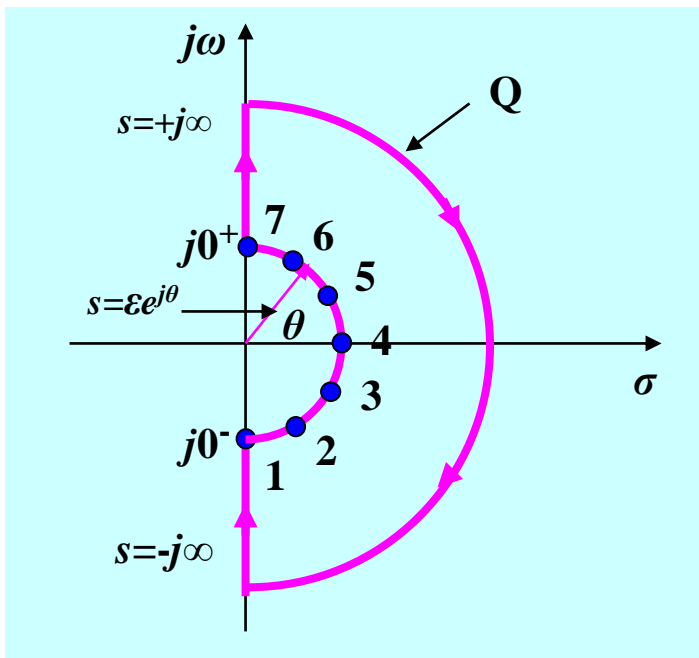
- 1)  $j0^+ < j\omega < j\infty$ ，正频率的极坐标图；
- 2)  $-j\infty < j\omega < j0^-$ ，负频率的极坐标图。





# Nyquist稳定性判据——原点处开环极点的影响

若传递函数 $G(s)H(s)$ 在分母上有一个 $s$ ，由于闭合曲线 $Q$ 不能通过 $B(s)$ 的任一零点或极点，因此对闭合曲线 $Q$ 进行修正，避免穿越原点（如图所示）



闭合曲线 $Q$ 上很小的半圆 $s = \epsilon e^{j\theta}$ ， $\epsilon \rightarrow 0$  且  $-\pi/2 \leq \theta \leq \pi/2$

$$G(s)H(s) = \frac{K_1}{s(1+T_1s)(1+T_2s)}$$

$\Downarrow s \rightarrow 0$

$$G(s)H(s) = \frac{K_1}{s} = \frac{K_1}{\epsilon e^{j\theta}} = \frac{K_1}{\epsilon} e^{-j\theta} = \frac{K_1}{\epsilon} e^{j\psi}$$



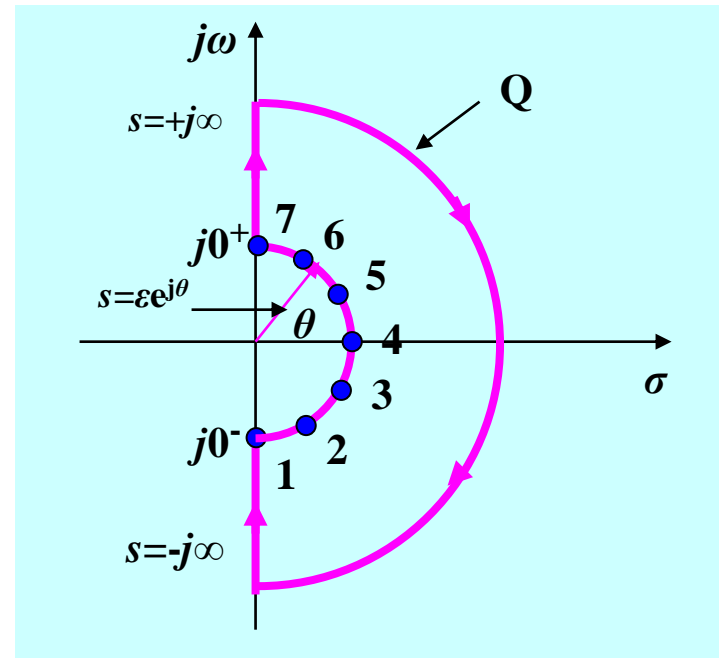
# Nyquist稳定性判据——原点处开环极点的影响

$$G(s)H(s) = \frac{K_1}{s} = \frac{K_1}{\varepsilon e^{j\theta}} = \frac{K_1}{\varepsilon} e^{-j\theta} = \frac{K_1}{\varepsilon} e^{j\psi}$$

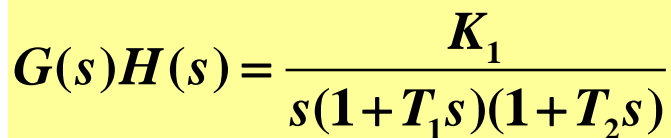
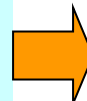
其中：当  $\varepsilon \rightarrow 0$  时， $K_1/\varepsilon \rightarrow \infty$

$\psi = -\theta$  从  $\pi/2$  到  $-\pi/2$  顺时针变化

(当有向线段从  $\varepsilon \angle -\pi/2$  到  $\varepsilon \angle \pi/2$  逆时针变化时)



$\varepsilon \rightarrow 0^-$  和  $\varepsilon \rightarrow 0^+$  时， $G(s)H(s)$  曲线的终点与第一、四象限的半径为无穷大的半圆相连接。

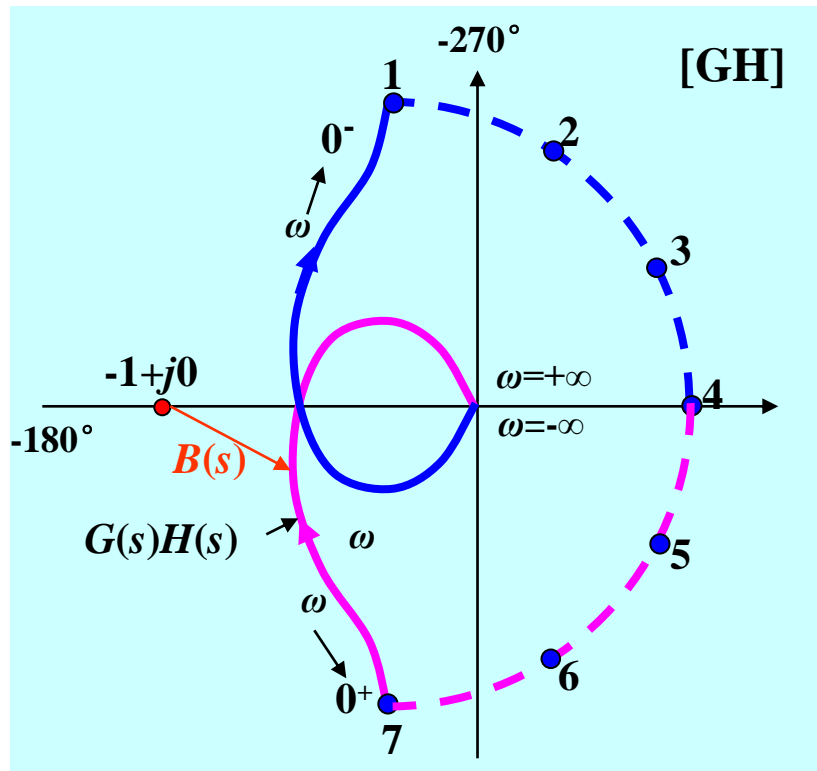


当原点移至 $-1+j0$ 点时, 即为  $B(s)$ 图

点O沿着修正之后的闭合曲线从点1到点7运动时 $G(s)H(s)$ 曲线。



# Nyquist稳定性判据——原点处开环极点的影响



$G(s)H(s)$ 图没有包围 $-1+j0$ 点，  
因此 $N$ 为0

$$G(s)H(s) = \frac{K_1}{s(1+T_1s)(1+T_2s)}$$



$$P_R = 0$$

$$Z_R = P_R - N$$



$$Z_R = 0$$

闭环系统稳定



# Nyquist稳定性判据——原点处开环极点的影响

若传递函数分母含有 $s^m$ 项，则当 $\varepsilon \rightarrow 0$

$$G(s)H(s) = \frac{K_m}{s^m} = \frac{K_m}{\varepsilon^m e^{jm\theta}} = \frac{K_m}{\varepsilon^m} e^{-jm\theta} = \frac{K_m}{\varepsilon^m} e^{jm\psi}, m = 1, 2, 3, 4, \dots$$

根据前面的示例，从上述方程可以看出，当 $s$ 从 $0^-$ 向 $0^+$ 运动时， $G(s)H(s)$ 图以无穷大半径顺时针旋转 $m$ 个半圆（ $180^\circ$ ）

若 $m=2$ ，当 $s$ 沿着半径为 $\varepsilon$ ，相角 $\theta$ 从 $-\pi/2$ 变化到 $\pi/2$ 时， $G(s)H(s)$ 旋转一周，即 $2 \times (180^\circ) = 360^\circ$ 。

由于极坐标图关于实轴对称，因此只要确定 $0 < \omega < +\infty$ 的 $G(s)H(s)$ 幅相曲线形状， $-\infty < \omega < +\infty$ 时的曲线围绕圈数是 $0 < \omega < +\infty$ 时曲线围绕圈数的2倍。





# Nyquist稳定性判据—— $G(j\omega)H(j\omega)$ 穿越 $-1+j0$ 点

---

当 $G(j\omega)H(j\omega)$ 穿越点 $-1+j0$ ，围绕的圈数将不确定。这种情况对应于 $B(s)$ 在虚轴上有零点。

应用Nyquist稳定判据的**必要条件**是闭合曲线不经过 $B(s)$ 的任一极点或零点。

当 $G(j\omega)H(j\omega)$ 穿越 $-1+j0$ 点，Nyquist稳定判据不能用。

$B(s)$ 在虚轴上的零点意味着闭环系统将出现持续振荡（与输入无关），这种情况即表示系统不稳定。



# Nyquist稳定性判据——示例

**例6-16-2** 设系统的开环传递函数为  $G(s)H(s) = \frac{K(s+4)}{s(s-1)}$

用奈魁斯特稳定判据确定使系统稳定的 $K$ 的取值范围。

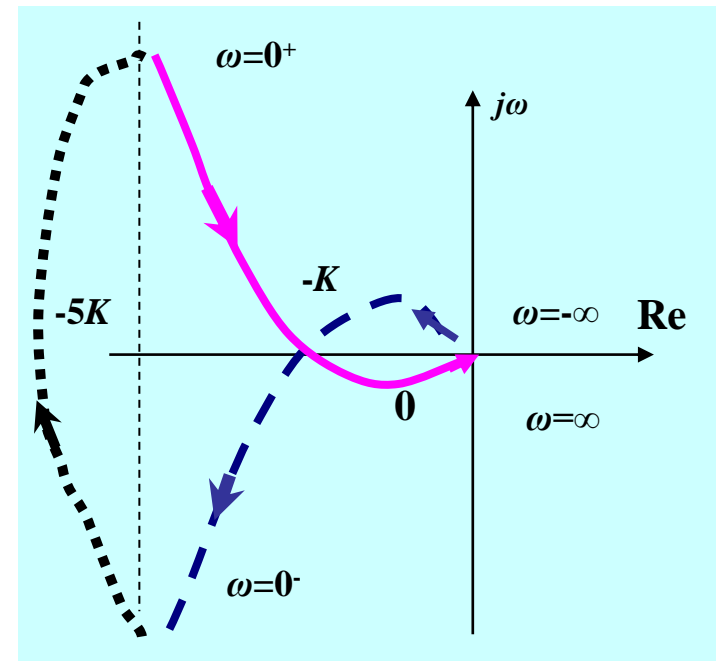
**解：**系统开环频率特性为

$$G(j\omega)H(j\omega) = \frac{K(j\omega+4)}{j\omega(j\omega-1)} = \frac{-5K}{\omega^2+1} + j \frac{K(4-\omega^2)}{\omega(\omega^2+1)}$$

**I型**系统， $m=1$ ，如图顺时针连接 $0^-$ 与 $0^+$ 。

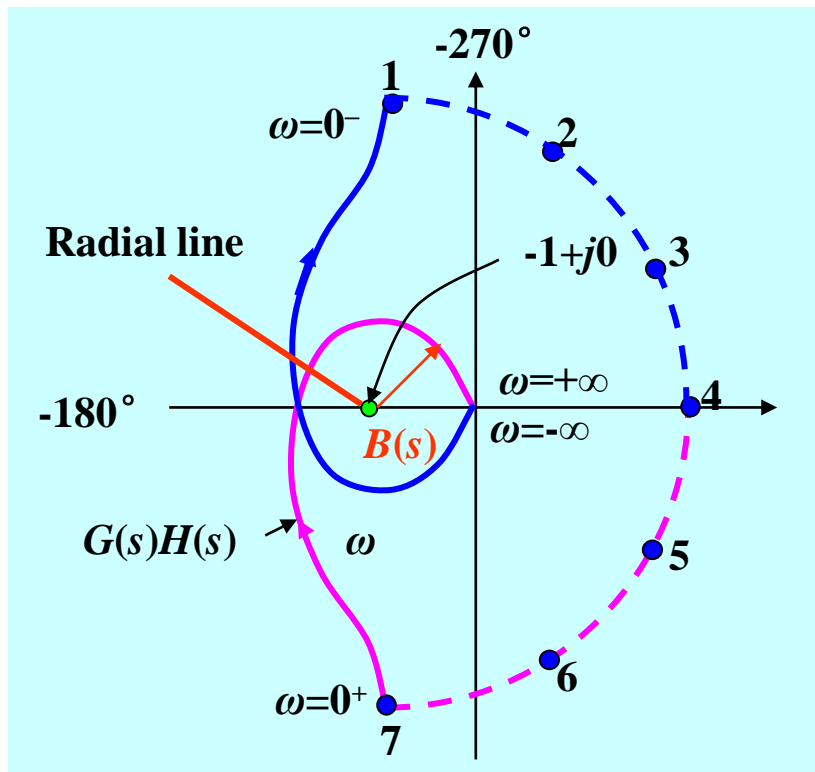
由于系统在右半平面有一个开环极点。  
所以有：

$K=1$ ， $GH$ 过 $(-1, j0)$ 点，系统临界稳定；  
 $K>1$ ， $N=1$ ， $Z_R = P_R - N = 0$ ，系统稳定；  
 $K<1$ ， $N= -1$ ， $Z_R = P_R - N = 2$ ，系统不稳定。





# Nyquist稳定性判据——示例



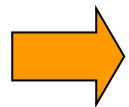
旋转的圈数 $N$ 可以通过从 $-1+j0$ 点绘制一射线的方法来确定。在射线与 $G(s)H(s)$ 曲线交点处标注频率增加的方向

若幅相曲线逆时针/顺时针穿越该射线，表示正穿越/负穿越

穿越之和为 $N$ 。

$$P_R = 0$$

$$N = -2$$



$$Z_R = P_R - N = 2$$

闭环系统不稳定。



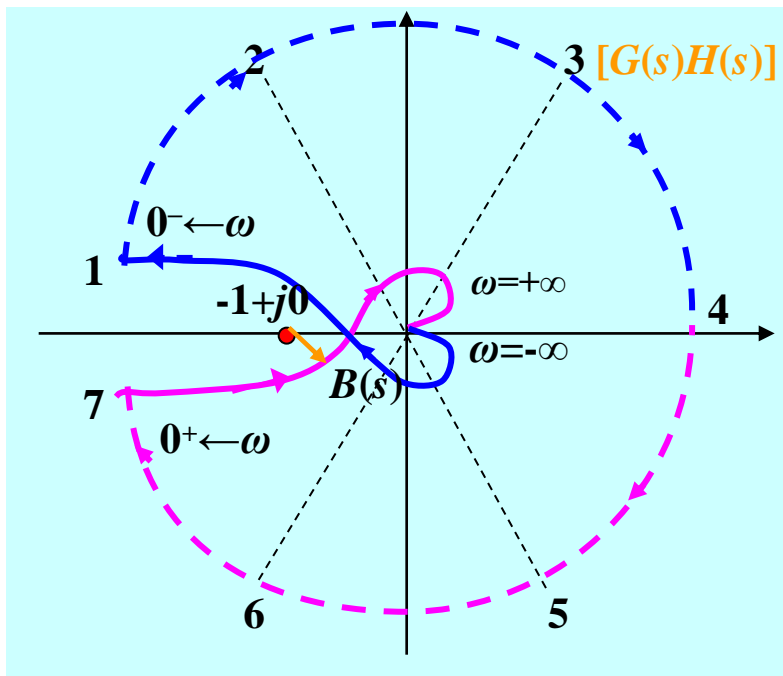
# Nyquist稳定性判据——示例

## 例 6-17. 2型系统

考虑开环传递函数

$$G(s)H(s) = \frac{K_2(1+T_4s)}{s^2(1+T_1s)(1+T_2s)(1+T_3s)}$$

其中  $T_4 > T_1 + T_2 + T_3$ 。下图表明沿S平面闭合曲线运动时  $G(s)H(s)$  图



$G(s)H(s)$  分母上的  $s^2$  项在  $\omega=0$  附近产生了  $360^\circ$  的旋转。

对于完整幅相曲线，旋转圈数为0，系统稳定。



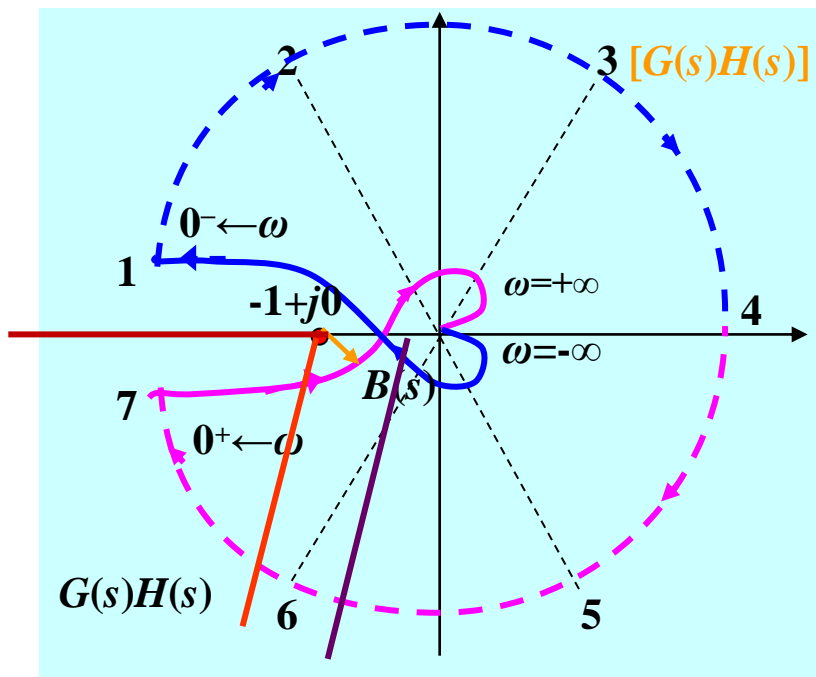
# Nyquist稳定性判据——示例

圈数 $N$ 可以通过从 $-1+j0$ 点绘制一条任一方向射线的方法来确定

$$G(s)H(s) = \frac{K_2(1+T_4s)}{s^2(1+T_1s)(1+T_2s)(1+T_3s)}$$

(也可以选取负实轴作为射线)

红色射线一次顺时针穿越和一次逆时针穿越



$$N = 1 - 1 = 0$$

$$P_R = 0$$

$$Z_R = P_R - N = 0$$

系统  
稳定

若增大 $G(s)H(s)$ 的增益使得 $G(s)H(s)$ 图穿越 $-1+j0$ 点左侧负实轴，则系统会出现不稳定

$$P_R = 0$$

$$N = -2$$

$$Z_R = P_R - N = 2$$



# Nyquist稳定性判据——示例

## 例 6-18. 条件稳定系统

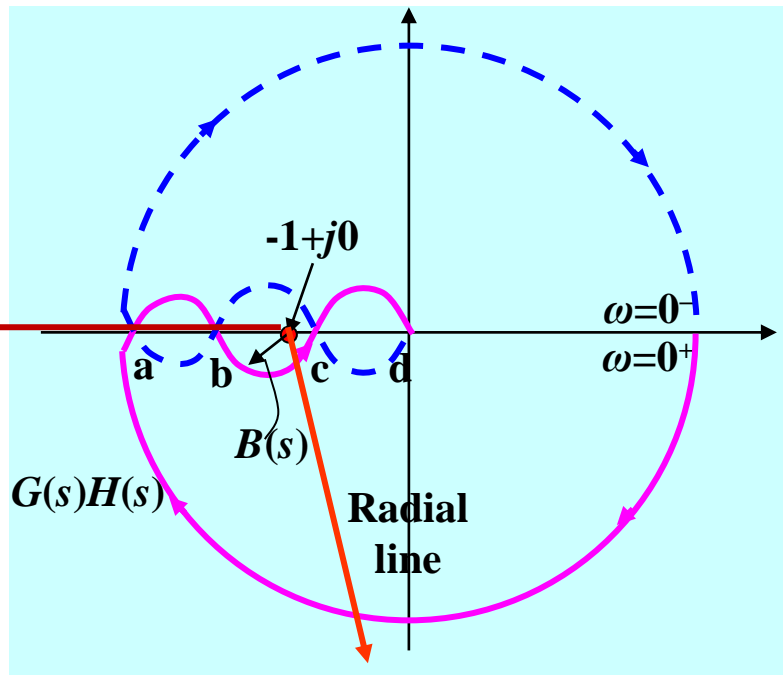
$$G(s)H(s) = \frac{K_0(1+T_1s)^2}{(1+T_2s)(1+T_3s)(1+T_4s)(1+T_5s)^2}$$

其中  $T_5 < T_1 < T_2$ ,  $T_3$  和  $T_4$ 。

从  $-1+j0$  点引出射线，旋转的圈数  $N=0$ 。由  $G(s)H(s)$ ,  $P_R=0$ 。

$$Z_R = P_R - N = 0$$

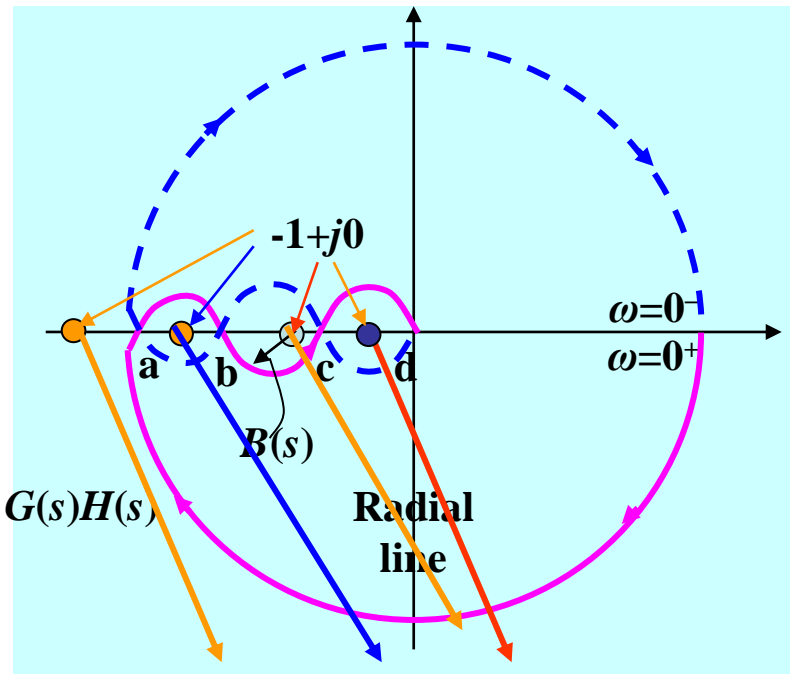
系统稳定




$$Z_R = 0 - (-2) = 2$$

2) 若减小增益, 使得 $-1+j0$ 位于极坐标图的a和b之间, 则顺时针旋转圈数为2。因此 $Z_R=2$ , 系统不稳定

3) 进一步减少增益, 使得  $-1+j0$  点位于极坐标图于负实轴最左侧交点的左侧, 则系统稳定



**该系统成为条件稳定。**

## 定义：条件稳定系统

系统在给定增益范围内是稳定的，但当增益增加或减少时，系统出现不稳定





# Nyquist稳定性判据——示例

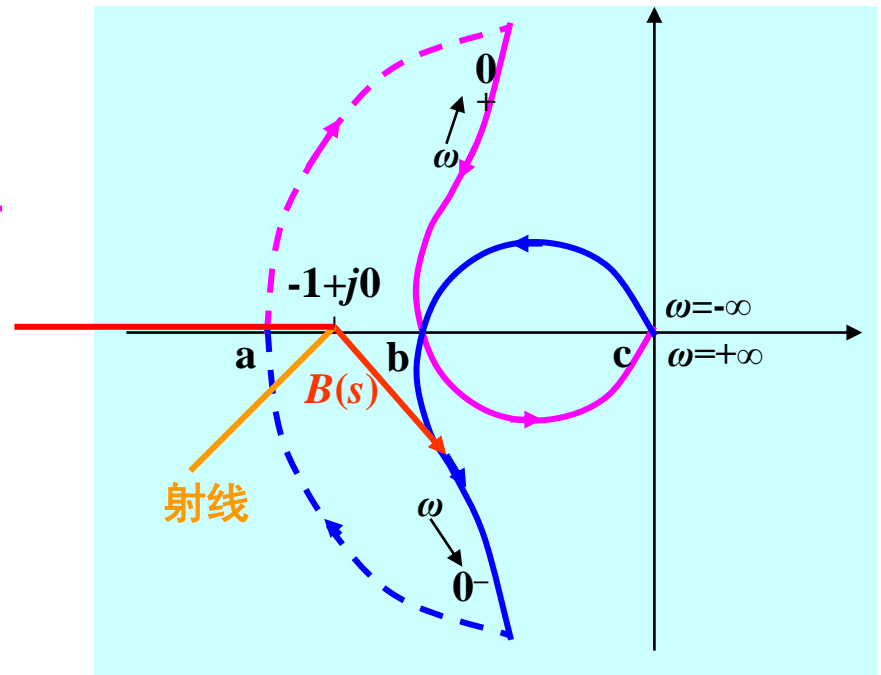
## 例 6-19. 开环不稳定系统

$$G(s)H(s) = \frac{K_1(T_2s + 1)}{s(T_1s - 1)}$$

完整的极坐标图如图所示。

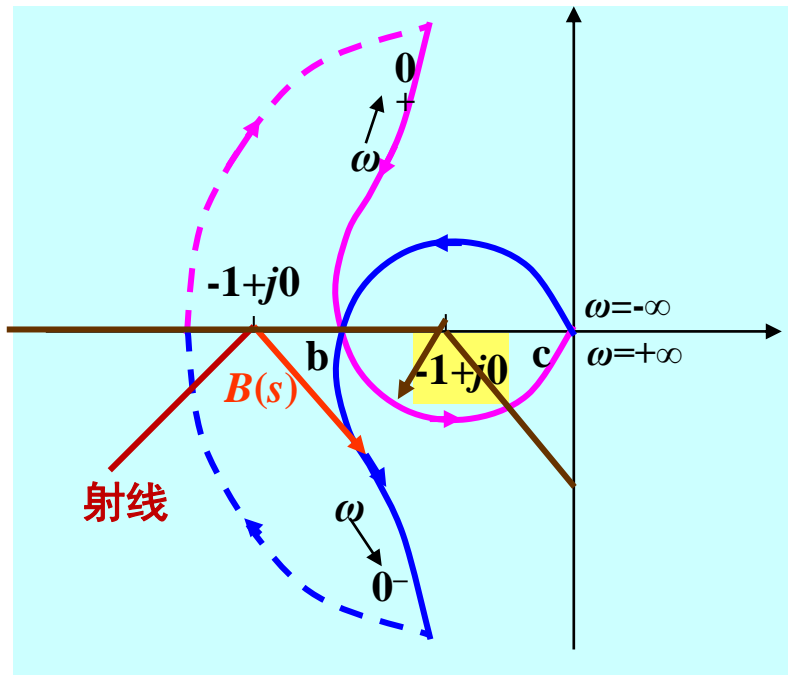
从  $-1+j0$  点做射线，有一个顺时针的交点，则  $N = -1$ 。

因为  $P_R = 1$ ， $Z_R = P_R - N = 2$ ，系统不稳定。





# Nyquist稳定性判据——示例



$$G(s)H(s) = \frac{K_1(T_2s+1)}{s(T_1s-1)}$$

对于小增益( $0 < K_1 < K_{1x}$ ), 实轴上的穿越点b在 $-1+j0$ 点的右侧, 系统不稳定。

当 $K_{1x} < K_1 < +\infty$ ,  $-1+j0$ 点位于 b 和 c之间, 使得 $N=+1$ ,  $Z_R=0$ , 闭环系统稳定。



# Nyquist稳定性判据——示例

很多情况仅给出正频部分的开环极坐标图（开环幅相曲线），而应用Nyquist稳定性判据是基于完整的开环极坐标图(complete polar plot)。这种情况下，应该首先将图补充完整，然后再判别闭环系统的稳定性。

**注意：**

- 1) 负频部分与正频部分关于实轴对称；
- 2) 正频的方向是已知的，箭头是 $\omega$ 从 $0^+$ 增加到 $\infty$ 的方向，而负频部的方向是从 $-\infty$ 增加到 $0^-$ 方向；
- 3) 当 $m$ 不等于零时，根据 $m$ 的值，决定 $\omega$ 从 $0^-$ 到 $0^+$ 的连线（顺时针方向 $m \times 180$ 度）；
- 4) 若有不稳定的开环极点存在，每个开环极点将在同型系统基础上产生180度滞后。



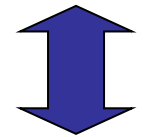
# Nyquist稳定性判据——小结

## 1. 开环零极点与闭环零极点关系

$$B(s) = 1 + G(s)H(s)$$

$$\left. \begin{array}{l} G(s) = N_1/D_1 \\ H(s) = N_2/D_2 \end{array} \right\} \Rightarrow B(s) = 1 + \frac{N_1 N_2}{D_1 D_2} = \frac{D_1 D_2 + N_1 N_2}{D_1 D_2}$$

$B(s)$ 的零点



$\Phi(s)$ 的极点

闭环传递函数

$$\Phi(s) = \frac{G(s)}{1 + G(s)H(s)} = \frac{N_1 D_2}{D_1 D_2 + N_1 N_2}$$

## 2. 数学基础：复变函数（幅角定理）

$$s = \sigma + j\omega \Rightarrow B(s) = \frac{(s - Z_1)(s - Z_2) \cdots (s - Z_w)}{(s - p_1)(s - p_2) \cdots (s - p_n)} = u(\omega) + jv(\omega) = r e^{j\psi}$$

$$|B(s)| = r = \frac{\prod |s - Z_i|}{\prod |s - p_j|}$$

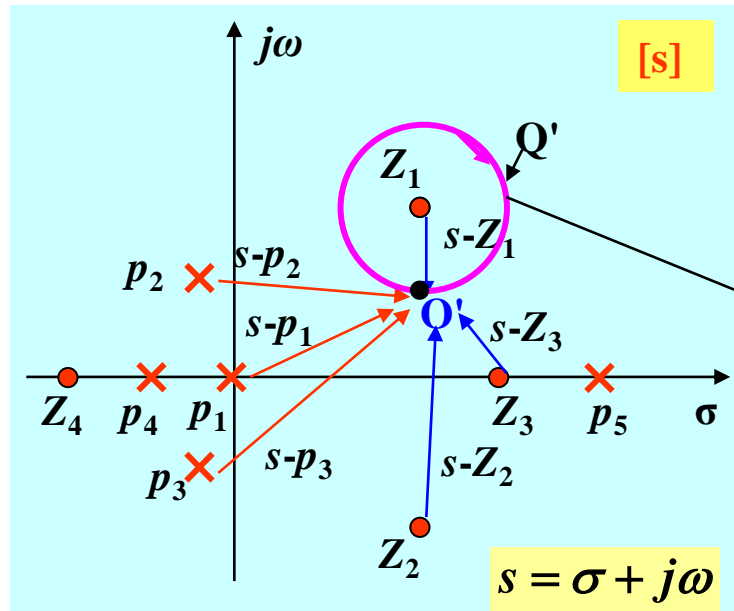
$$\angle B(s) = \psi = \sum (s - Z_i) - \sum (s - p_j)$$



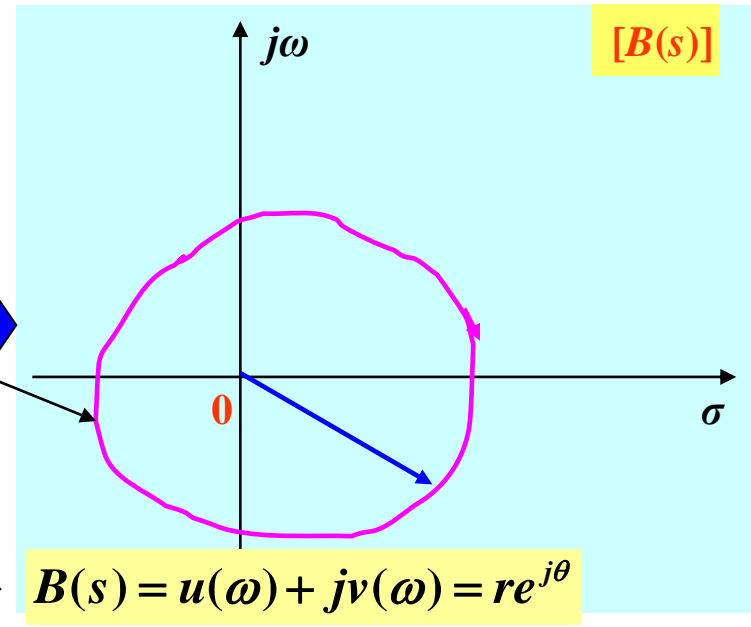
# Nyquist稳定性判据——小结

$$B(s) = 1 + G(s)H(s)$$

数学基础：从S平面  $\rightarrow B(s)$  平面的映射



映射



$$\angle B(s) = \sum (s - Z_i) - \sum (s - p_j)$$

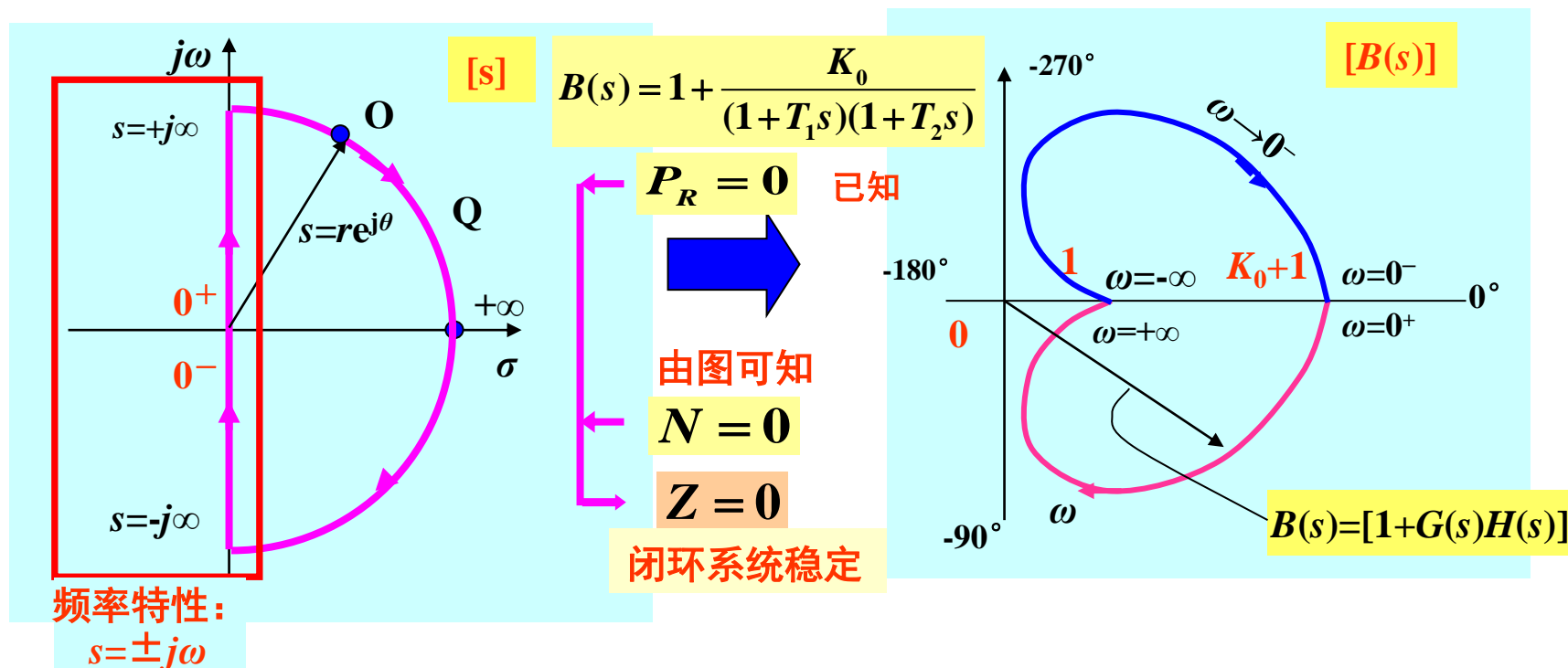
若S平面的 $Q'$ 包围 $B(s)$ 的一个零（极）点，则在 $B(s)$ 平面cw--顺时针（ccw—逆时针）包围原点一圈（即角度变化 $-360^\circ$ （ $+360^\circ$ ））。



# Nyquist稳定性判据——小结

## 3. Nyquist 轨线 (contour Q)

为了判别闭环系统的稳定性，在S平面上取特殊包围线：将整个右半平面包围起来——Nyquist 轨线，映射至 $B(s)$ 平面后，由其绕原点圈数 $N$  (cw—负，ccw—正) 与已知的在右半平面的开环极点数 $P_R$ 就可求出右半平面零点——系统的闭环极点——的个数 $Z_R$ 。 $Z_R = P_R - N$



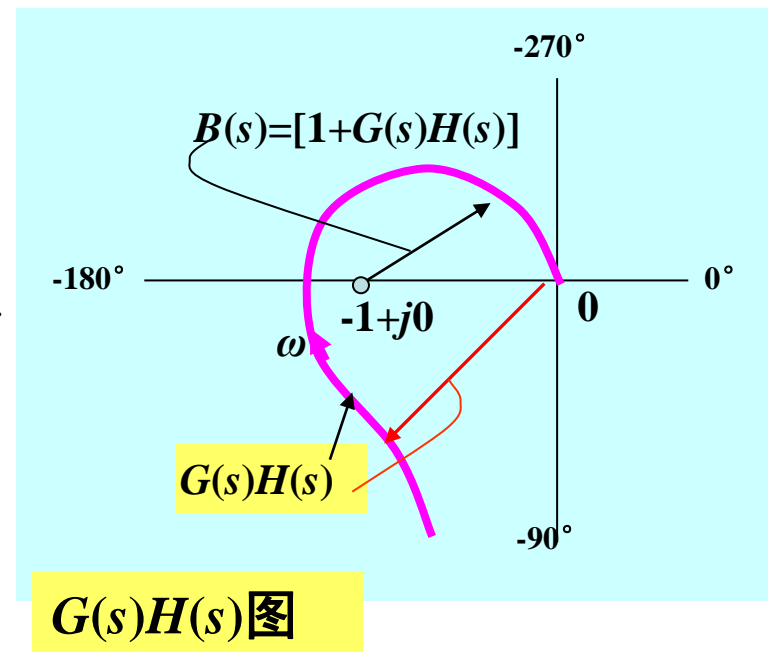
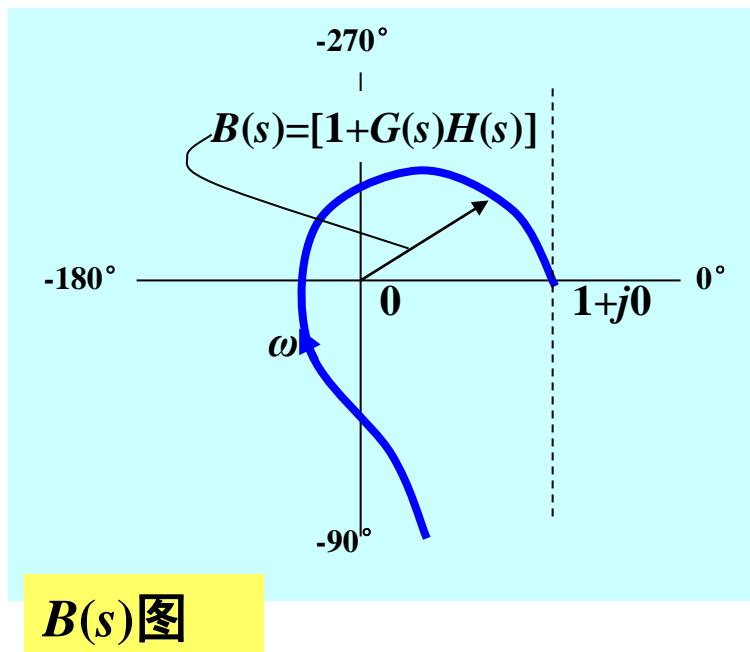


# Nyquist稳定性判据——小结

## 4. 从开环频率特性确定闭环稳定性

$$B(s) = 1 + G(s)H(s)$$

一般开环特性容易获取。易知： $G(s)H(s)$ 与 $B(s)$ 只相差一个常数项1。  
于是前面映射推导均成立，只需要将原来 $B(s)$ 包围原点0  $N$ 圈改为  
 $G(s)H(s)$ 包围 $(-1+j0)$ 点  $N$ 圈即可。原来的公式  $Z_R = P_R - N$  仍然成立。

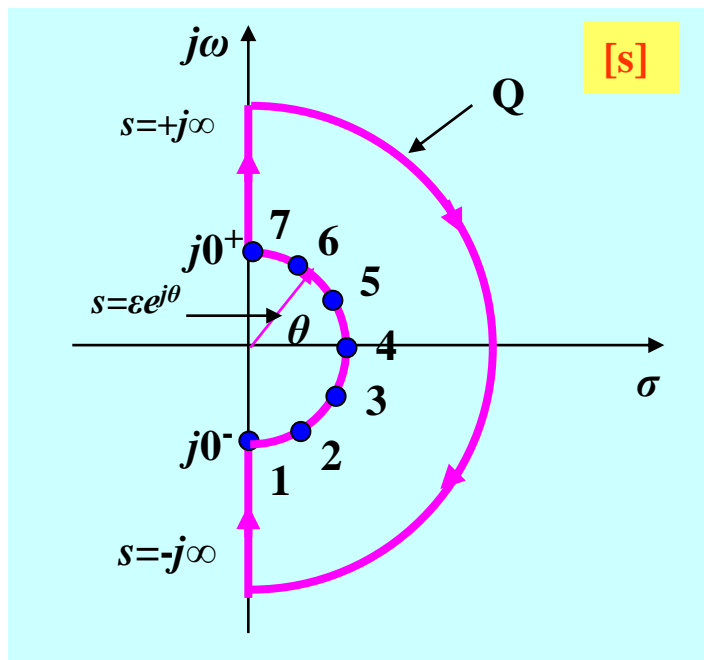




# Nyquist稳定性判据——小结

## 5. 修正Nyquist 轨线

**问题：** contour  $Q$  上不允许存在极点，若系统是非 0 型( $m \neq 0$ )，则 contour  $Q$  上将存在  $s=0$  的极点。???



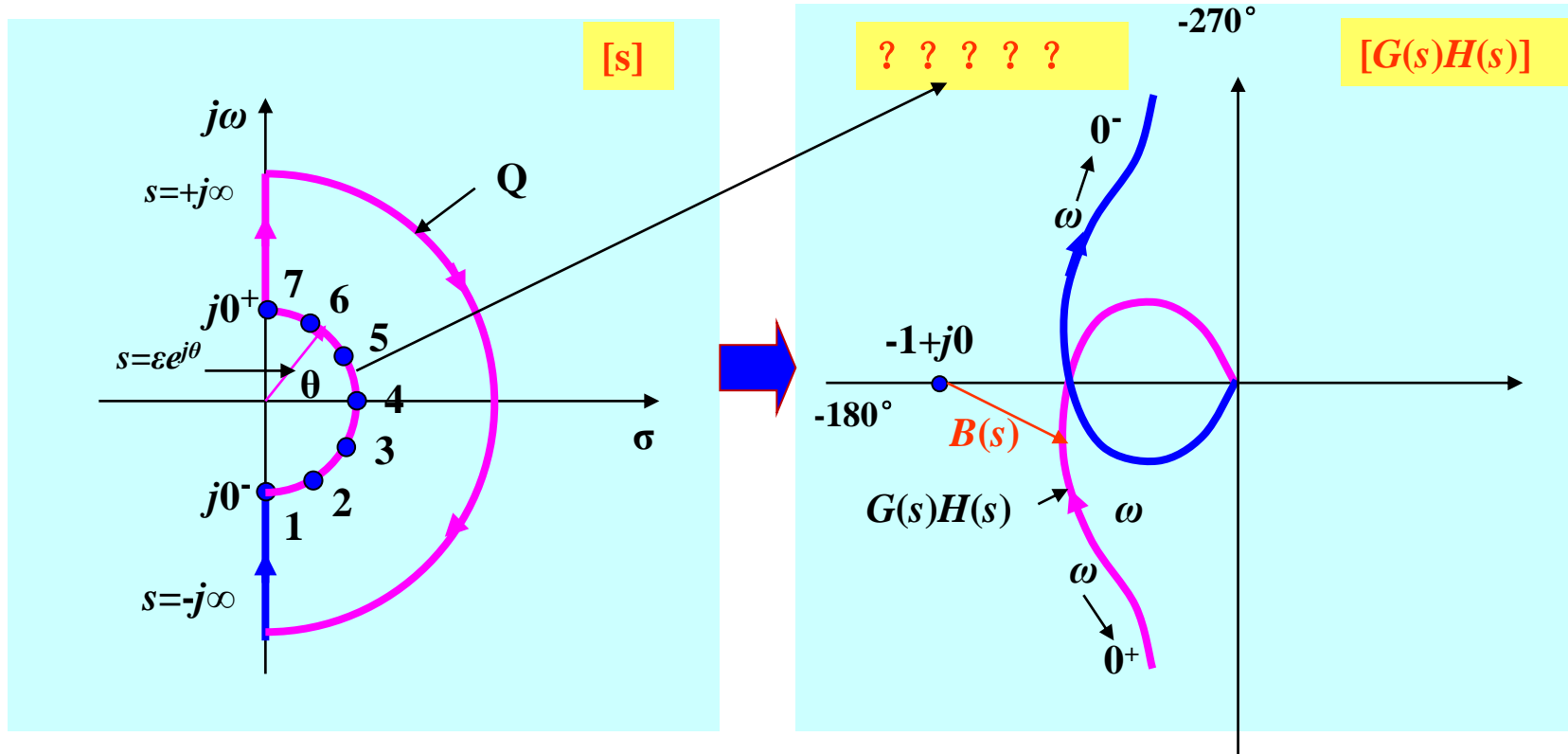
**解决办法：** 在  $Q$  上极点附近取一极小圆弧，绕开  $s = 0$  的极点，使  $Q$  仍为一连续轨线——修正Nyquist轨线。但需要特殊处理从  $0^- \rightarrow 0^+$  !!!





# Nyquist稳定性判据——小结

## 5. 修正Nyquist 轨线



$m \neq 0$ 的问题将采用修正Nyquist 轨线处理：即 $S$ 平面的该极小圆弧如何映射到 $G(s)H(s)$ 平面上。它与系统的型别 $m$ 密切相关。



# Nyquist稳定性判据——小结

1) 设 $m=1$ ，即系统有一个开环极点： $s=0$ ，采用修正Nyquist 轨线

令： $s = \varepsilon e^{j\theta}$  映射  $\rightarrow$   $G(s)H(s) = \frac{K_1}{s} = \frac{K_1}{\varepsilon e^{j\theta}} = \frac{K_1}{\varepsilon} e^{-j\theta} = \frac{K_1}{\varepsilon} e^{j\psi}$

2)  $[s]$ 平面的小圆弧映射到 $[G(s)H(s)]$ 平面, 将 $0^- \rightarrow 0^+$ 连成封闭曲线形成 Nyquist 图

其中： $[s]$ 平面： $s$ 从 $0^- \rightarrow 0^+$ 变化（即 $\varepsilon \angle -\pi/2$  to  $\varepsilon \angle \pi/2$ ），也即 $\varepsilon \rightarrow 0$ ， $\theta$ 从 $-\pi/2$ 变化到 $+\pi/2$

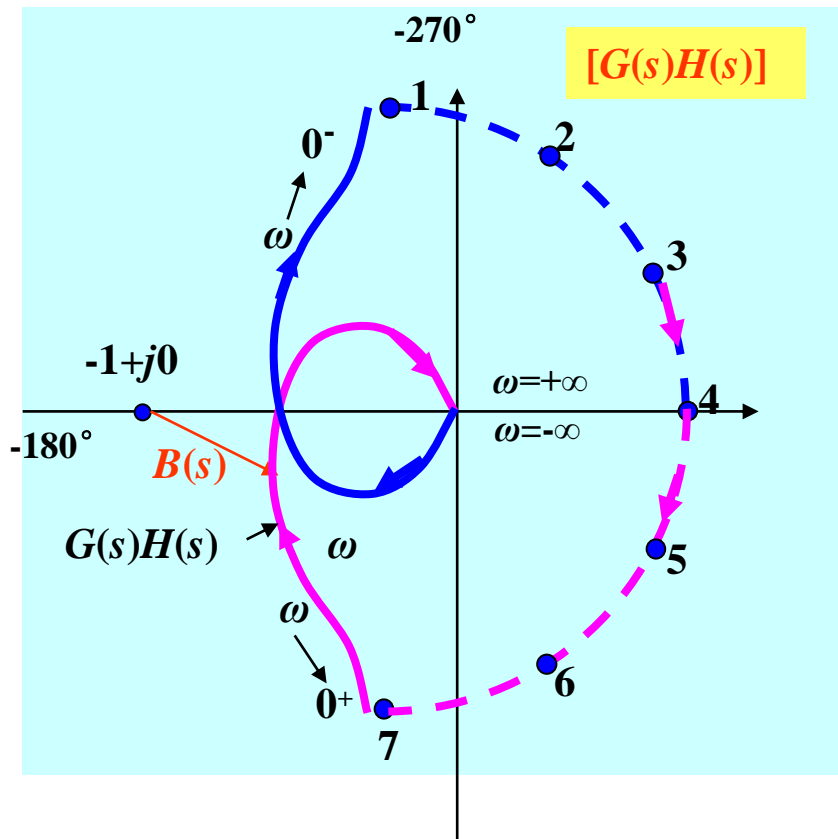
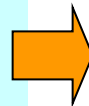
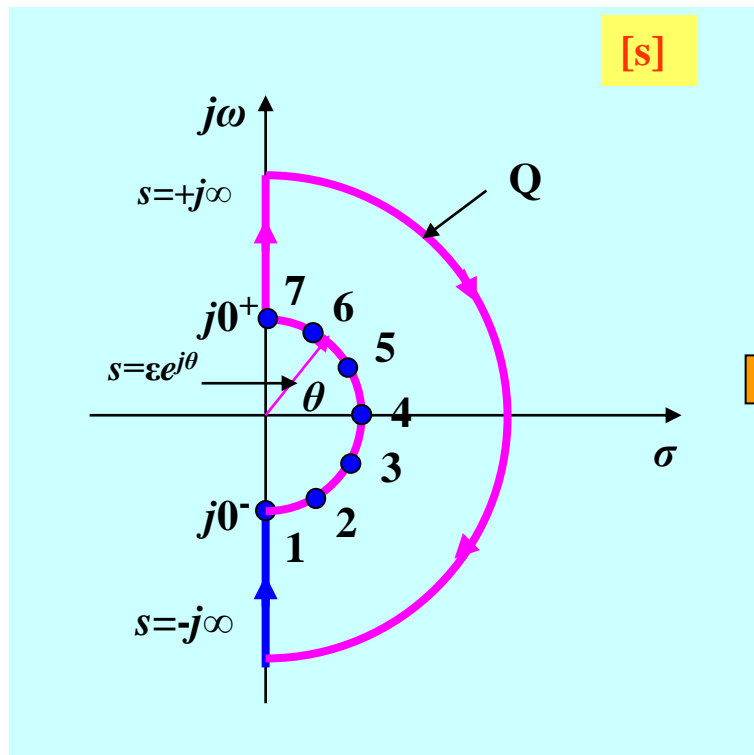
$[G(s)H(s)]$ 平面： $K_1/\varepsilon \rightarrow \infty$  as  $\varepsilon \rightarrow 0$ ;

$\psi = -\theta$  则从 $\pi/2$ 变化到  $-\pi/2$ （见后一页）

3) 由完成的 Nyquist 图判别闭环系统的稳定性



# Nyquist稳定性判据——小结



问题：  $m > 1$  ? ? 例如  $m=2$ ,  $m=3$ ? ——方案同前。但特别小心角度不同!!



# Nyquist稳定性判据——小结

设分母上含有 $s^m$ 项，即当 $\varepsilon \rightarrow 0$ ，映射到 $[G(s)H(s)]$ 平面上 $0^- \rightarrow 0^+$ 就有

$$G(s)H(s) = \frac{K_m}{s^m} = \frac{K_m}{\varepsilon^m e^{jm\theta}} = \frac{K_m}{\varepsilon^m} e^{-jm\theta} = \frac{K_m}{\varepsilon^m} e^{jm\psi} \quad m = 1, 2, 3, 4, \dots$$

半径仍然是无穷大，但当 $s$ 平面的 $\theta$ 从 $-\pi/2$ 到 $\pi/2$ 时， $G(s)H(s)$ 的相位则顺时针从 $0^- \rightarrow 0^+$ 变化 $m$ 个半圆。

例  $m=2$  (2型系统)， $G(s)H(s)$ 将变化 $2 \times 180^\circ = 360^\circ$ 。

$m=3$  (3型系统)， $G(s)H(s)$ 将变化 $3 \times 180^\circ = 540^\circ$ 。

6. 由于极坐标图关于实轴对称，知道正频部分即可画出负频部分，注意 $\omega$ 增加方向，以及特别注意 $0^- \rightarrow 0^+$ 的连接线



# Nyquist稳定性判据——小结

## 7. Nyquist稳定性判据的应用

从 $G(s)H(s)$ 的极坐标图上判别其包围点 $(-1+j0)$ 的圈数 $N$ ，再由已知的开环不稳定极点数（在右半平面） $P_R$ ，可求出闭环特征方程 $B(s)$ 在右半平面的零点——即闭环系统的极点——的个数 $Z_R$ 。

判别方法：

**判别法1：**从点 $(-1+j0)$ 画一射线（方向不限），记下穿越的总次数 $N$ ，其穿越时：顺时针穿越为一，逆时针为十。

**判别法2：**假设你站在 $\omega$ 增加方向箭头上， $-1+j0$ 点在右手方为顺时针（一）， $-1+j0$ 点在左手方为逆时针（十）。

若 $GH$ 正好通过点 $(-1+j0)$ ，则意味着 $B(s)$ 在虚轴上有零点，这是等幅振荡的情况，或称其为临界稳定，或称其为不稳定。

**关键：**(1)  $GH$ 的极坐标图必须是完整与正确的；(2)  $\omega$ 增加方向至关重要；(3) 系统的型 $m$ 很重要，确定极坐标图的走向及 $0^- \rightarrow 0^+$ 的连接线。



# Nyquist稳定性判据——示例

**Fig (a)** 判断开环频率特性如图所示系统的闭环稳定性。

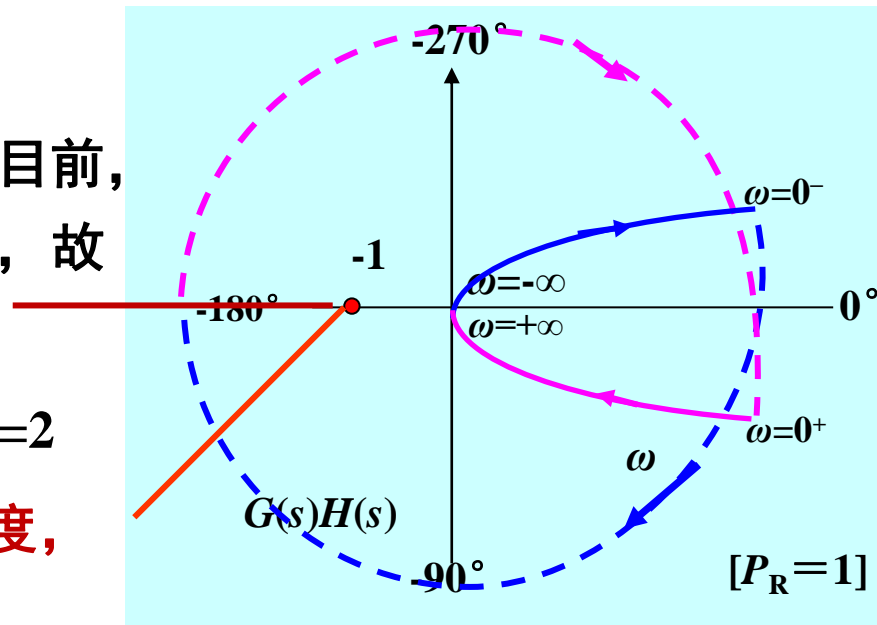
首先补上负频部分如蓝线所示

由图显然可知不是0型系统

已知： $P_R=1$ ，它带来180度的滞后，目前，起始点（ $\omega=0^+$ ）的相位是 $-360$ 度，故知：

$-360 - (-180) = -180$ ，故知： $m=2$

$\omega$ 从 $0^-$ 到 $0^+$ 的连线：顺时针转 $2 \times 180$ 度，如图所示



画射线，得 $N=-1$ ，则 $Z_R=P_R-N=1-(-1)=2$

所以系统闭环不稳定。



# Nyquist稳定性判据——示例

**Fig (b)** 判断开环频率特性如图所示系统的闭环稳定性。

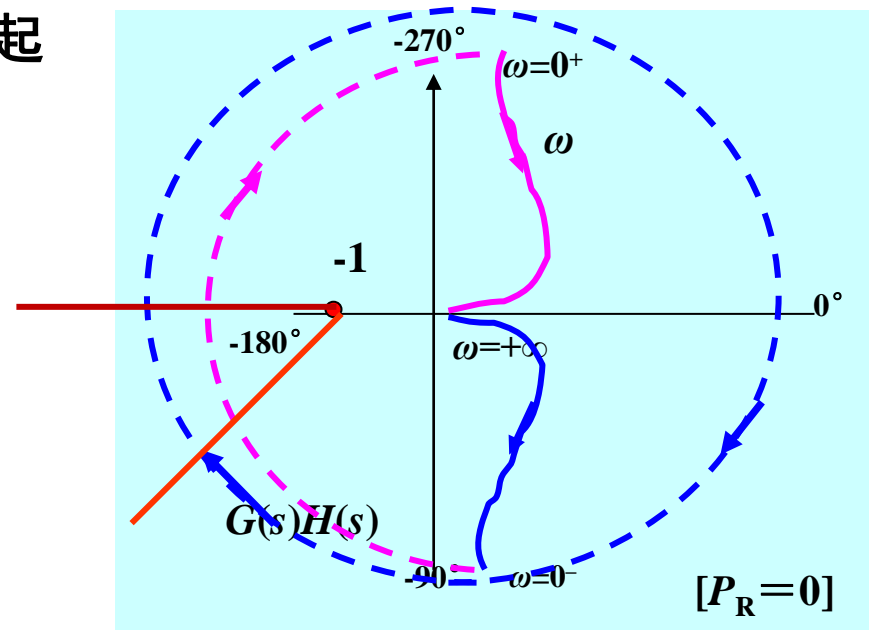
首先补上负频部分（与正频关于实幅对称）如蓝线所示

由图显然可知是3型系统（因为起始点 $\omega=0^+$ 处的相位为 $-270^\circ$ ）

已知： $P_R=0$ ,

因 $m=3$

$\omega$ 从 $0^-$ 到 $0^+$ 的连线：顺时针转  
 $3 \times 180^\circ$



画射线，得 $N=-2$ ，则 $Z_R=P_R-N=0-(-2)=2$

所以系统闭环不稳定。



# Nyquist稳定性判据——示例

Fig (c) Try it !!

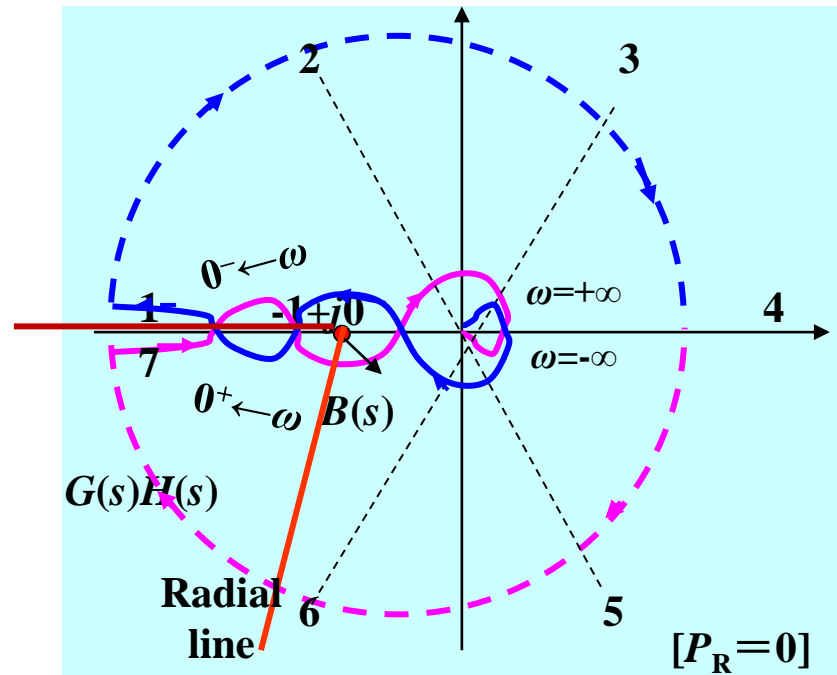
首先补上负频部分（与正频关于实轴对称）如蓝线所示

由图显然可知是2型系统

已知： $P_R=0$ ,

因 $m=2$

$\omega$ 从 $0^-$ 到 $0^+$ 的连线：顺时针转  
 $2 \times 180^\circ$



画射线，得 $N=0$ ，则 $Z_R=P_R-N=0$

所以系统闭环稳定。





# Nyquist稳定性判据——示例

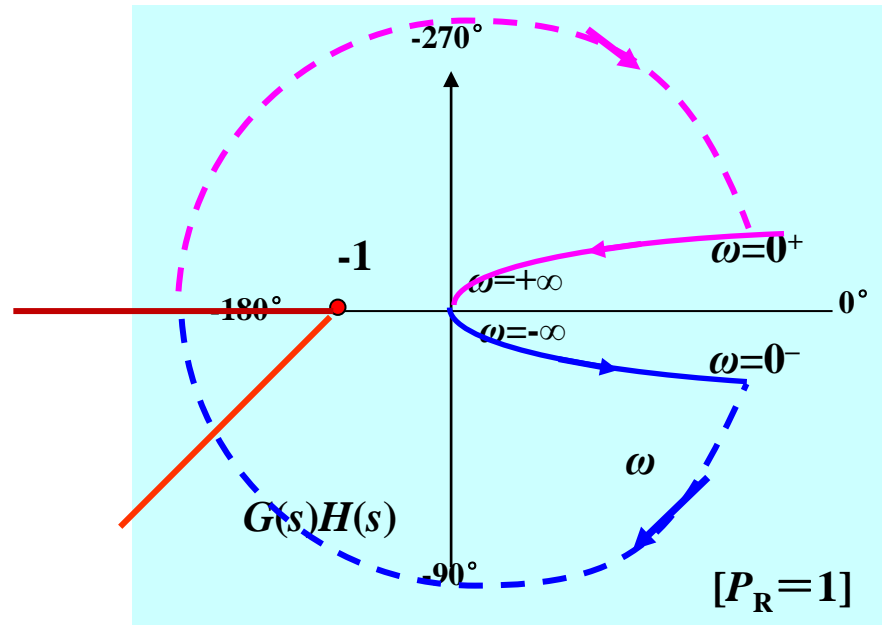
Fig (d) Try it !!

由图显然可知是2型系统

已知:  $P_R=1$ ,

因  $m=2$

$\omega$ 从 $0^-$ 到 $0^+$ 的连线: 顺时针  
转 $2 \times 180^\circ$



画射线, 得 $N=-1$ , 则 $Z_R=P_R-N=2$

所以系统闭环不稳定。



# Nyquist稳定性判据——示例

**例6-20** 已知单位反馈系统开环幅相曲线 ( $K=10$ ,  $P_R=0$ ,  $m=1$ ) 如图所示, 试确定系统闭环稳定时 $K$ 值的范围。

**解:** 如图所示, 开环幅相曲线与负实轴有三个交点, 设交接点处穿越负实轴频率分别为 $\omega_1 < \omega_2 < \omega_3$ , 系统的开

环传递函数为  $G(s) = \frac{K}{s^m} G_1(s)$

$G_1(s)$ 的分子分母常数项为1

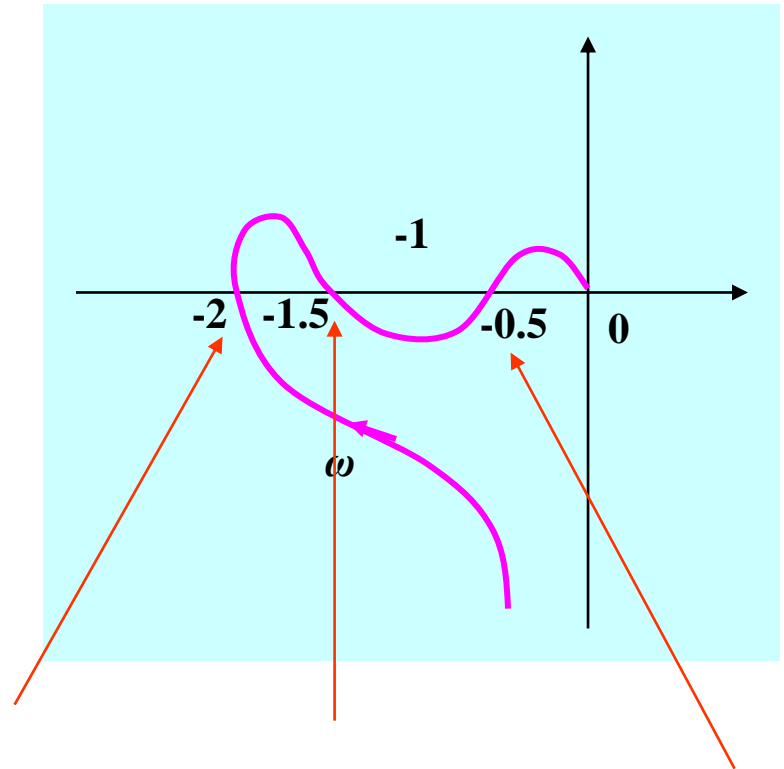
由题设条件知:

$$m = 1 \quad \lim_{s \rightarrow 0} G_1(s) = 1$$

$$G(j\omega_i) = \frac{K}{j\omega_i} G_1(j\omega_i) \quad i=1,2,3$$

当  $K = 10$

$$G(j\omega_1) = -2, G(j\omega_2) = -1.5, G(j\omega_3) = -0.5$$





# Nyquist稳定性判据——示例

$$G(j\omega_i) = \frac{K}{j\omega_i} G_1(j\omega_i)$$

对于 $K>0$ ，穿越负实轴的频率 $\omega_i$ 必须满足

$$\begin{aligned}\angle G(j\omega_i) &= \angle \left( \frac{K}{j\omega_i} G_1(j\omega_i) \right) \\ &= -90^\circ + \angle G_1(j\omega_i) = -(2l+1)180^\circ\end{aligned}$$

由上式可以看出，穿越负实轴的点的频率 $\omega_i$ （即在 $\omega_1, \omega_2, \omega_3$ 穿越）与 $K$ 值的大小没有关系；但交点位置随 $K$ 变化而变化。

若令 $G(j\omega_1) = -1$ （即交点），对应的 $K_1$ 值由

$$K_1 = \frac{-1}{\frac{1}{j\omega_1} G_1(j\omega_1)}$$

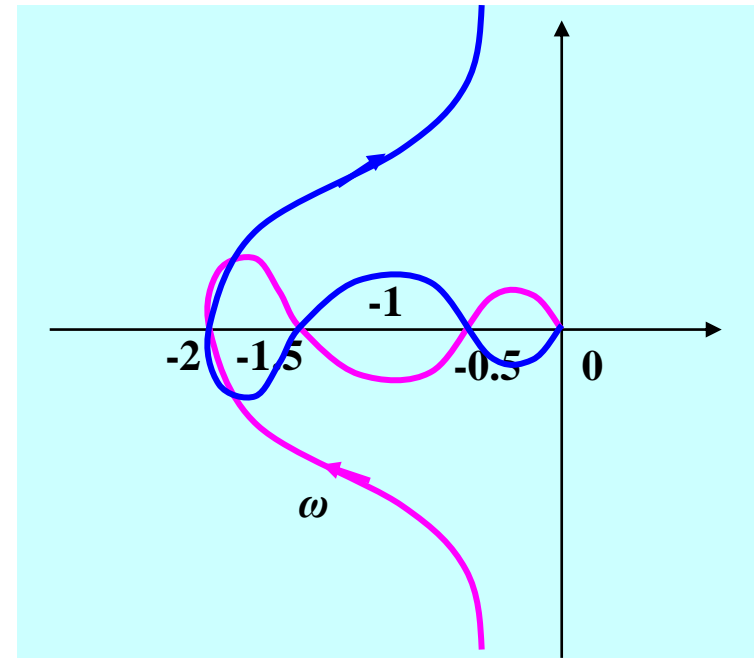
$$\because G_{K_1=10}(j\omega_1) = \frac{10}{j\omega_1} G_1(j\omega_1) = -2$$

$$K_1 = \frac{-1}{\frac{-2}{10}} = 5$$

同理：

$$K_2 = \frac{20}{3}$$

$$K_3 = 20$$

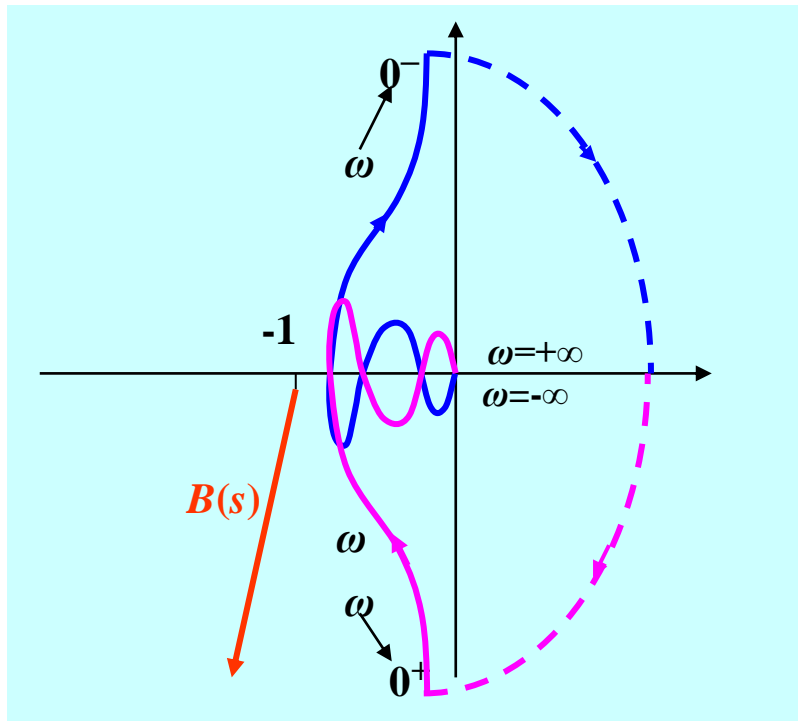




# Nyquist稳定性判据——示例

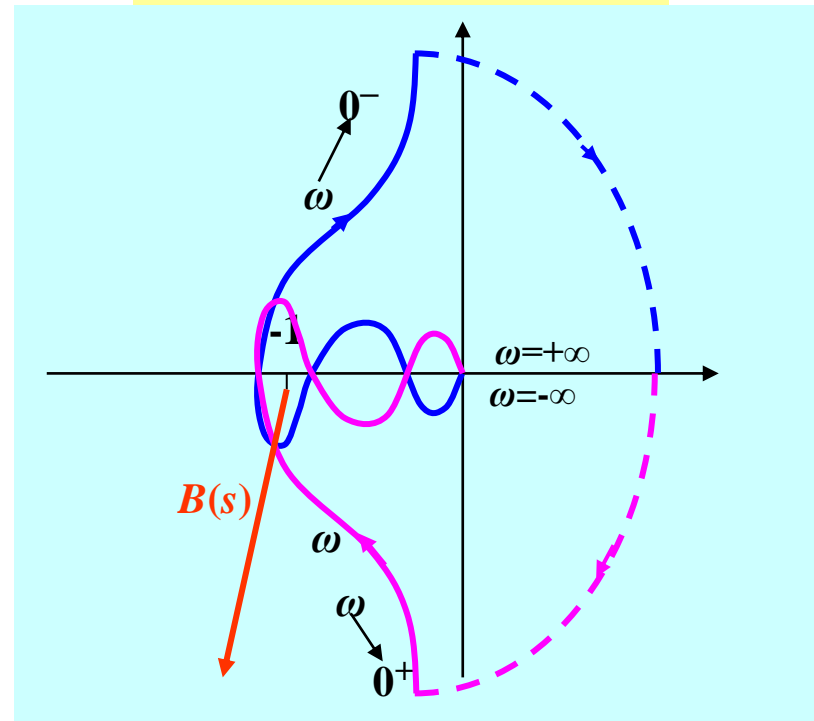
$$G(j\omega_i) = \frac{K}{j\omega_i} G_1(j\omega_i)$$

令:  $0 < K < K_1 = 5$



$P_R=0, N=0$ , 所以  $Z_R=0$ , 系统稳定

$5 = K_1 < K < K_2 = \frac{20}{3}$



$P_R=0, N=-2$ , 所以  $Z_R=2$ , 系统不稳定



$$G(j\omega_i) = \frac{K}{j\omega_i} G_1(j\omega_i)$$

**$P_R=0, N=-2$ , 所以  $Z_R=2$ , 系统不稳定**



---

Thanks!